

PATENTOVÝ SPIS

(19) ČESKÁ REPUBLIKA



ÚŘAD PRŮMYSLOVÉHO VLASTNICTVÍ

(21) Číslo přihlášky: 2011-577
(22) Přihlášeno: 14.02.2011
(40) Zveřejněno: 22.08.2012
 (Věstník č. 34/2012)
(47) Uděleno: 09.08.2012
(24) Oznámení o udělení ve Věstníku:
 19.09.2012
 (Věstník č. 38/2012)

(11) Číslo dokumentu:

303 458

(13) Druh dokumentu: B6

(51) Int. CL:

C12Q 1/68 (2006.01)
G01N 33/50 (2006.01)
C12N 15/12 (2006.01)

(56) Relevantní dokumenty:

WO 2005/108987; WO 2005/103720.

Healy a kol. Platelet expression profiling and clinical validation of myeloid-related protein-14 as a novel determinant of cardiovascular events. Circulation, 2006, 113: 2278-2284.; Nepomuceno-Chamorro a kol. Prognostic transcriptional association networks: a new supervised approach based on regression trees. Bioinformatics, 2011, 27(2): 252–258.; Calverley a kol. Platelet gene expression as a biomarker risk stratification tool in acute myocardial infarction: A pilot investigation. Clinical Medicine Insights: Blood Disorders, 2010, 3: 9-15.; Stanton a kol. Altered patterns of gene expression in response to myocardial infarction. Circulation Research, 2000, 86: 939-945.; VanBuren a kol. Blood gene expression signatures associate with heart failure outcomes. Physiological Genomics, 2011, 43(8): 392-397, publikováno online leden 2011..

(73) Majitel patentu:

Ústav informatiky AV ČR, v. v. i. Centrum
biomedicínské informatiky, Praha 8, CZ

(72) Původce:

Zvárová Jana Prof. RNDr. DrSc., Praha 4, CZ
Mazura Ivan Doc. RNDr. CSc., Praha 3, CZ
Valenta Zdeněk Doc. Mgr. Ph.D., Velké Přílepy, CZ
Feglarová Petra Ing. Bc., Šestajovice, CZ
Grunfeldová Hana MUDr., Schořov, CZ

(74) Zástupce:

Inventia s.r.o., RNDr. Kateřina Hartvichová, Na Bělidle
3, Praha 5, 15000

(54) Název vynálezu:

**Způsob identifikace osob se zvýšeným
genetickým rizikem úmrtí po infarktu
myokardu**

(57) Anotace:

Řešení popisuje způsob identifikace osob se zvýšeným genetickým rizikem úmrtí v důsledku kardiovaskulárních komplikací do 6 měsíců od okamžiku výskytu akutního infarktu myokardu, spočívající v tom, že se v biologickém vzorku odebraném z těla pacienta stanoví intenzita exprese genů a genetických lokusů ADORA3, (M97723), ERLIN1, CLYBL, TCEA3, (BC070337), HSD17B8, FLT3, AXIN2 a (CR596519). Logaritmovaná hodnota intenzity exprese při základu 2 se následně srovná s referenční hodnotou intenzity exprese, přičemž odchylka od referenční hodnoty rovná alespoň minimální odchylce u všech uvedených genů a genetických lokusů značí zvýšené riziko.

CZ 303458 B6

Způsob identifikace osob se zvýšeným genetickým rizikem úmrtí po infarktu myokardu

Oblast techniky

5 Předkládaný vynález se týká způsobu identifikace osob v české populaci, které vykazují zvýšené genetické riziko úmrtí v důsledku kardiovaskulárních komplikací do 6 měsíců od okamžiku výskytu akutního infarktu myokardu. Identifikace je prováděna na základě stanovení profilu genové exprese vybraných genů lidského genomu.

10

Dosavadní stav techniky

15 Infarkt myokardu a cévní mozková přihoda jsou dvěma nejzávažnějšími klinickými projevy aterosklerózy. Riziko rozvoje těchto onemocnění se odhaduje na základě známých rizikových faktorů. Rozsah onemocnění je v současnosti zjišťován řadou vyšetření, jakými jsou např. scintigrafie, magnetická rezonance, katetrizační vyšetření. Každé z těchto vyšetření má však i svá omezení, např. radiační zátěž nebo invazivitu vyšetření. Aterosklerotické pláty jsou zkoumány na buněčné i molekulární úrovni, včetně sledování buněk v cirkulaci jako odpovědi na zánětlivý 20 proces v cévách.

25 Identifikace genů pomocí molekulárně biologických metod znamenala v posledních letech výrazný posun nejen v odhalení příčin některých závažných, život ohrožujících, onemocnění člověka (např. některé onkologické diagnózy, závažné dědičné poruchy metabolismu člověka či další poruchy neuromuskulárního, gastrointestinálního a oběhového systému, včetně aterosklerózy atd.), ale v neposlední řadě také významně rozšířila naše znalosti o vzniku a rozvoji akutního infarktu myokardu (AIM) (Yukihiro Hojo, Uich Ikeda, Yun Zhu, Motoi Okada, Shuichi Ueno, Hiroshi Arakawa, Hideyuki Fujikawa, Taka-aki Katsuki, and Kazuyuki Shimada, Expression of vascular endothelial growth factor in patients with acute myocardial infarction. *J Am Coll Cardiol*, 35(4): 968 až 973, March 2000; Merry L. Lindsey, NMP Induction and Inhibition in Myocardial Infarction. *Heart Failure Reviews*, 9(1):7 až 19, January 2004). Detailnějším pochopením jednotlivých stádií IM se dostávají do popředí i otázky možnosti prevence a účinnější léčby onemocnění. S rozvojem moderních technologií se molekulárně biologický výzkum obecně posouvá od klasického modelu odhalování konkrétních genetických lokusů, resp. genetických polymorfismů, působících poruchu jednoho genu ke snaze monitorovat polygenní a multifaktoriální poruchy člověka pomocí genomických a expresních čipů, jejichž analýza v současnosti poskytuje komplexnější obraz onemocnění (Joseph S. Verducc, Vincent F. Melfi, Shili Lin, Zailong Wang, Sashwati Roy, and Chandan K. Sen. Microarray analysis of gene expression: considerations in data mining and statistical treatment. *Physiological Genomics*, 25(3):355 až 363, May 2006). Především studium tzv. expresních čipů zažívá v lékařských vědách velký rozvoj, protože umožňuje posoudit mnoho genových transkriptů a jejich expresních variant najednou v kritickém stádiu onemocnění (multivariánní analýza, randomizační studie) (Lawrence W. Stanton, Lisa J. Garrard, Deborah Damm, Brett L. Garrick, Andrew Lam, Ann M. Kapoun, Qiang Zheng, Andrew A. Protter, George F. Schreiner, and R. Tyler White. Altered Patterns of Gene Expression in Response to Myocardial Infarction. *Circ Res*, 86(9):939 až 945, May 2000; Matthew B. Lanktree and Robert A. Hegele. Gene–gene and gene–environment interactions: new insights into the prevention, detection and management of coronary artery disease. *Genome medicine*, 1(2):28, February 2009).

50 Recentní práce posledních 5 let se intenzivně zabývají z mnoha úhlů pohledu nejen expresními profily osob s aterosklerózou, ale také osob s ischemickou chorobou srdeční ve vztahu ke vznikajícím zánětlivým procesům v cévách (Gemma Satterthwaite, Sheila E. Francis, Kim Suvarna, Stephen Blakemore, Chantelle Ward, Don Wallace, Martin Braddock, and David Crossman. Differential gene expression in coronary arteries from patients presenting with ischemic heart disease: further evidence for the inflammatory basis of atherosclerosis. *American heart journal*, 55

150(3):488 až 499, September 2005), osob s ischemickou a neischemickou kardiomyopatií při srdečním selhání (Michelle M. Kittleson, Khalid M. Minhas, Rafael A. Irizarry, Shui Q. Ye, Gina Edness, Elayne Breton, John V. Conte, Gordon Tomaselli, Joe G. Garcia, and Joshua M. Hare. Gene expression analysis of ischemic and nonischemic cardiomyopathy: shared and distinct genes in the development of heart failure. *Physiological genomics*, 21(3):299 až 307, May 2005; Michelle M. Kittleson, Shui Q. Ye, Rafael A. Irizarry, Khalid M. Minhas, Gina Edness, John V. Conte, Giovanni Parmigiani, Leslie W. Miller, Yingie Chen, Jennifer L. Hall, Joe G. Garcia, and Joshua M. Hare. Identification of a gene expression profile that differentiates between ischemic and nonischemic cardiomyopathy. *Circulation*, 110(22):3444 až 3451, November 2004) a dále také osob s poškozením koronárních cév (James A. Wingrove, Susan E. Daniels, Amy J. Sehnert, Whittemore Tingley, Michael R. Elashoff, Steven Rosenberg, Lutz Buellesfeld, Eberhard Grube, L. Kristin Newby, Geoffrey S. Ginsberg, and William E. Kraus. Correlation of Peripheral–Blood Gene Expression With the Extent of Coronary Artery Stenosis / CLINICAL PERSPECTIVE. *Circulation: Cardiovascular Genetics*, 1(1):31 až 38, October 2008; Ramachandran S. Vasan and Calum A. MacRae. A dream, a journey, and a promise: the inauguration of Circulation: Cardiovascular Genetics. *Circulation: Cardiovascular genetics*, 1(1):1–2, October 2008; Daphne, Maroeska M. Rovers, Diederick E. Grobbee, Joannes J. Marx, Jill Waalen, Cristina Ellervik, Børge G. Nordestgaard, John K. Olynyk, Peter R. Mills, James Shepherd, Bernard Grandchamp, Jolanda M. Boer, Calogero Caruso, Marcello Arca, Beta J. Meyer, and Yvonne T. van der Schopuw. Mutations in the HFE gene and cardiovascular disease risk: an individual patient data meta-analysis of 53 880 subjects. *Circulation: Cardiovascular genetics*, 1(1):43 až 50, October 2008).

Nárůst četnosti vědeckých prací v roce 2009, zabývajících se akutním infarktem myokardu, ukaže nejen narůstající zájem o toto problematiku, ale také závažnost studovaného tématu (Kahraman Tanriverdi and Jane E. Freedman. Blood and Cardiovascular Disease. *Circulation: Cardiovascular Genetics*, 1(1):7 až 9, October 2008). Také další vědecké práce hledají v poslední době příčinné vztahy mezi projevy některých genů a vznikem akutního infarktu myokardu (AIM). To, že se jedná o komplexní proces, zahrnující celou řadu genů či pouze jejich částí (polymorfní místa), je všeobecně známo. Jsou popsány polymorfismy ve struktuře endoteliálního růstového faktoru, diskriminující pacienty s AIM, u nichž se vyvinulo srdeční selhání (Panagiotis Douvaras, Dionisis G. Antonatos, Kiriaki Kekou, Sotirios Patsillnakos, George Chouliaras, Apostolos Christou, Anastasios Andrikou, and Emmanuel Kanavakis. Association of VEGF gene polymorphisms with the development of heart failure in patients after myocardial infarction. *Cardiology*, 114(1):11 až 18, 2009).

Je popsán vliv akutní koronární okluze na uvolňování arteriálního natriuretického peptidu, který působí na vasodilataci, natriurézu a zánětlivou odpověď, čímž zvyšuje rozsah infarktu myokardu a mortalitu (Aiilyan K. Houng, Rachel A. McNamee, Attila Kerner, Pallawi Sharma, Almois Mohamad, Jonathan Tronolone, and Guy L. Reed. Atrial natriuretic peptide increases inflammation, infarct size, and mortality after experimental coronary occlusion. *American journal of physiology. Heart and circulatory physiology*, 296(3):H655 až H661, March 2009). Popisována je rovněž exprese kininových a jiných receptorů (June Yun, Michael J. Zuscik, Pedro Gonzalez-Cabrera, Dan F. McCune, Sean A. Ross, Robert Gaivin, Michael T. Piascik, and Dianne M. Perez. Gene expression profiling of alpha(1b)-adrenergic receptor-induced cardiac hypertrophy by oligonucleotide arrays. *Cardiovascular research*, 57(2):443 až 455, February 2003), které podporují aktivaci cirkulujících mononukleárů u pacientů s akutním koronárním syndromem (AKS).

Změny nalézané v extracelulární matrix jsou určující pro myokardiální remodelaci po IM. Mohou být významným faktorem pro zánětlivou odpověď a mohou přispívat ke stabilizaci a kompenzatorním mechanismům pro udržení srdečního výdeje. Ovlivňují též angiogenezi, proliferaci a differenciaci buněk (Fabio D'Aguiar D. Mataveli, Sang Won W. Han, Helena Bnciani B. Nader, Aline Mendes, rose Kanishiro, Paulo Tucci, Antonio Carlos C. Lopes, Jose Carlos Costa C. Baptista-Silva, Ana Paula Cleto P. Marolla, Leonardo Pinto P. de Carvalho, Priscila Martins Andrade M.

- Denapoli, and Maria Aparecida da Silva A. Pinhal. Long-term effects for acute phase myocardial infarct VEGF165 gene transfer cardiac extracellular matrix remodeling. *Growth factors (Chur, Switzerland)*, 27(1):22 až 31, February 2009). Objevují se i studie zaměřené na hledání konkrétních polymorfismů ve struktuře DNA, které by mohly mít přímou souvislost s vývojem ischemické choroby srdeční (C. Federici, N. Botto, S. Manfredi, A. Rizza, M. Fiandra, and M. Andreassi. Relation of Increased Chromosomal Damage to Future Adverse Cardiac Events in Patients With Known Coronary Artery Disease. *The American Journal of Cardiology*, 102(10):1269 až 1300, November 2008). Recentní molekulárně genetické (expresní) studie jsou prováděny např. na desítkách osob s chronickým srdečním selháním (Cappuzzello C., Napolitano M., Arcelli D., Melillo G., Melchionna R., DiVito L., Karlini D., Silvestri L., Brugaletta S., Liuzzo G., Crea F., Capogrosso M. C.: Gene expression profiles in peripheral blood mononuclear cells of chronic heart failure patients, *Physiol. Genomics*, 2009, 38:233 až 240), na pacientech s onemocněním koronárních artérií (Meier P., Antonov J., Zbinden, R., Kun A., Zbinden S., Glekler S., Delorenzi M., Maggi R., Seiler C.: Non-invasive gene-expression-based detection of well-developed collateral function in individuals with and without coronary artery disease, *Heart*, 2009, 95:900 až 908; Erdmann J., Grosshennig A., Braund P. S., et al.: New susceptibility locus for coronary artery disease on chromosome 3q22.3, *Nat. Genet.*, 2009, DOI:10.1038/ng.307; Tregouet D. A., Koning I. R., Erdmann J., et al.: Genome-wide haplotype association study identifies the SLC22A3-LPAL2-LPA gene cluster as a risk locus for coronary artery disease, *Nat Genet*, 2009, DOI:10.1038/ng.314) či na sekrečním materiálu osob s chronickou ischémií (Józefa Dabek, Aleksander Owczarek, Zbigniew Gasior, Rafal Ulczok, Mariusz Skowerski, Andrzej Kulach, Urszula Mazurek, and Andrzej Bochenek. Oligonucleotide microarray analysis of genes regulating apoptosis in chronically ischemic and postinfarction myocardium. *Biochemical genetics*, 45(5 až 6):241 až 247, June 2008).
- Několik vědeckých týmů v čele s mezinárodním konsorcium pro genetiku infarktu myokardu (Myocardial Infarction Genetics Consortium, <http://www.nature.com/ng/>; David Seo, Geoffrey S. Ginsburg, and Pascal J. Goldschmidt-Clermont. Gene Expression Analysis of Cardiovascular Diseases: Novel Insights Into Biology and Clinical Applications. *J. Am Coll Cardiol*, 48(2):227 až 235, July 2006; David Seo, Tao Wang, Holly Dressman, Edward E. Herderick, Edwin S. Iversen, Chunming Dong, Korkut Vata, Carmelo A. Milano, Fabio Rigat, Jennifer Pittman, Joseph R. Nevins, Mike West, and Pascal J. Goldschmidt-Clermont. Gene Expression Phenotypes of Atherosclerosis, *Arterioscler Thromb Vasc Biol*, 24(10):1922 až 1927, October 2004) se zabývá genetickými asocioačními studiemi ve vztahu k infarktu myokardu (Iris M. Heid, Eva Boes, Martina Müller, Barbara Kollerits, Claudia Lamina, Stefan Coassan, Christian Gieger, Angela Döring, Norman Klopp, Ruth Frikke-Schmidt, Anne Tybjaerg-Hansen, Anita Brandstätter, Andreas Luchner, Thomas Meitinger, Wichmann, and Florian Kronenberg. Genome-Wide Association Analysis of High-Density Lipoprotein Cholesterol in the Population-Based Kora Study Sheds New Light on Intergenic Regions / CLINICAL PERSPECTIVE. *Circulation: Cardiovascular Genetics*, 1(1):10 až 20, October 2008; Gudbjartsson D. F., Bjornsdottir, U.S., Halapi E., et al.: Sequence variants affecting eosinophil numbers associate with asthma and myocardial infarction, *Nat. Genet.*, 2009, DOI: 10.1038/ng.323; Ozaki K., Sato H., Inoue K., et al.: SNPs in BRAP associated with risk of myocardial infarction in Asian population, *Nat. Genet.*, 2009, DOI:10.1038/ng.326).
- Snaha včas predikovat nastupující příznaky infarktu myokardu (postupně nastupující stres vyvíjející se až do šoku) je dnes řešena klinickou diferenciální diagnostikou, funkčními testy, resp. statimovým měřením základních biochemických markerů pro AIM. Toto užívané schéma diagnostiky je používáno (u pacienta při první události) bez jakékoliv možnosti monitorovat (predikovat) celkový stav organismu v období před AIM. Přesnéjším charakterizováním základního expresního profilu pacienta přežívajícího i nepřežívajícího akutní stadium infarktu myokardu a jeho porovnáním s vybranými osobami kontrolního souboru české populace, se otevírá do budoucnosti reálná možnost průběžného, ekonomicky dostupného sledování osob přežívajících infarkt myokardu (období do 3 až 6 měsíců po první a další události).

Pokusy o expresní analýzu a průběžné monitorování nejrůznějších, především ale nádorových, onemocnění člověka byly již učiněny. Jsou dnes připravovány nejrůznější selektivní expresní sady genů, které charakterizují nejen aktuální stav organismu, ale také mohou monitorovat úspěšnost a adekvátnost léčby (David T. Miller, Paul M. Ridker, Peter Libby, and David J. Kwiatkowski. Atherosclerosis: The Path From Genomics to Therapeutics. *J Am Coll Cardiol*, 49(15):1589 až 1599, April 2007). Tyto snahy jsou zřejmě v posledních letech i v oblasti diagnostiky některých kardiovaskulárních poruch člověka (P. Meier, J. Antonov, R. Zbinden, A. Kuhn, S. Zbinden, S. Gloekler, M. Delorenzi, R. Jaggi, and C. Seiler. Non-invasive gene-expression-based detection of well-developed collateral function in individuals with and without coronary artery disease. *Heart*, 95(11):900 až 908, June 2009; Józefa Dabek, Aleksander Owczarek, Zbigniew Gasior, Rafal Ulczok, Mariusz Skowerski, Andrzej Kulach, Urszula Mazurek, and Andrzej Bochenek. Oligonucleotide microarray analysis of genes regulationong apoptosis in chronically ischemic and postinfarction myocardium. *Biochemical genetics*, 46(5–6):241 až 247, June 2008; Claudia Cappuzzello, Monica Napolitano, Diego Arcelli, Guido Melillo, Roberta Melchionna, Luca Di Vitto, Daniele Carlini, Lorena Silvestri, Salvatore Brugaletta, Giovanna Liuzzo, Filippo Crea, and Maurizio C. Capogrossi. Gene expression profiles in peripheral blood mononuclear cells of chronic heart failure patients. *Physiological genomics*, 38(3):233 až 240, August 2009), dosud však není známa studie snažící se predikovat prognózu pacienta s AIM.

V posledních letech celosvětově vzrůstající prevalence kardiovaskulárních chorob člověka motivuje stále intenzivněji vědeckou veřejnost k hledání nových strategií diagnostiky a léčby (James A. Wingrove, Susan E. Daniels, Amy J. Schnert, Whittemore Tingley, Michal R. Elashoff, Steven Rosenberg, Lutz Buellesfeld, Eberhard Grube, L. Kristin Newby, Geoffrey S. Ginsburg, and William E. Kraus. Correlation of Peripheral–Blood Gene Expression With the Extent of Coronary Artery Stenosis / CLINICAL PERSPECTIVE. *Circulation: Cardiovascular Genetics*, 1(1):31 až 38, October 2008; Peter R. Sinnaeve, Mark P. Donahue, Peter Grass, David Seo, Jacky Vonderscher, Salah-Dine D. Chibout, William E. Kraus, Michael Sketch, Charlotte Nelson, Geoffrey S. Ginsburg, Pascal J. Goldschmidt–Clermont, and Christopher B. Granger. Gene expression patterns in perihperial blood correlate with the extent of coronary artery disease. *PloS one*, 4(9), 2009; Ruby C. Y. Lin, Kate L. Weeks, Xiao–Ming Gao, Rohan B. H. Williams, Bianca C. Bernardo, Helen Kiriazis, Vance B. Matthews, Elizabeth A. Woodcock, Russel D. Bouwman, Janelle P. Mollica, Helen J. Speirs, Ian W. Dawes, Roger J. Daly, Tetsuo Shioi, Seigo Izumo, Mark A. Febbraio, Xiao–Jun Du, and Julier R. McMullen. Pi3k(p110alpha) protects against myocardial infarction–induced heart failure: Identification of pi3k–regulated mirna and mrna. *Arterioscler Thromb Vasc Biol*, 30(4):724 až 732, April 2010; Orfeas Liangos, Sophie Domhan, Christian Schwager, Martin Zeier, Peter E. Huber, Francesco Addabbo, Michael S. Goligorsky, Lynn Hlatky, Bertrand L. Jaber, and Amir Abdollahi. Whole blood transcriptions in cardiac surgery identifies a gene regulatory network connecting ischemia reperfusion with systemic inflammation. *PloS one*, 5(10), 2010) a využívání nových technologií, jakými jsou například meta-analýzy velkých souborů studovaných osob či tzv. GWAS (Genome-wide association studies) studií (John P. A. Ioannidis. Prediction of Cardiovascular Disease Outcomes and Established Cardiovascular Risk Factors by Genome–Wide Association Markers / CLINICAL PERSPECTIVE. *Circulation: Cardiovascular Genetics*, 2(1): 7 až 15, February 2009; Jeanette Erdmann, Patrick Linsel–Nitschke, and Heribert Schunkert. Genetic causes of myocardial infarction: new insight from genome–wide association studies. *Deutsches Arztablatt international*, 107(40): 694 až 699, October 2010).

Výsledky rozsáhlé GWAS studie (Myocardial Infarction Genetics Consortium, Sekar Kathiresan, Benjamin F. Voight, Shaun Purcell, Kiran Musunuru *et al.* Genome–wide association of early–Onset myocardial infarction with single nucleotide polymorphisms and copy number variants. *Nature genetics*, 41(3): 334 až 341, March 2009) potvrzdily asociaci několika genů s ranným výskytem akutního infarktu myokardu, z nichž některé byly též potvrzeny analýzami našich dat. Jedná se především o gen PHACTR1 (fosfatáza a regulátor aktinu 1), který se ve srovnání s obecnou českou populací ukazuje na základě našich dat jako prediktivní u pacientů,

- kteří z kardiovaskulárních příčin zemřeli v průběhu 6–měsíčního sledování po primární srdeční přihodě, dále též gen MRPS6T (mitochondriální ribozomální protein), jehož varianty MRPL9, MRPL39, MRPL48, MRPL48, MRPS33 a MRPS30 byly statisticky významné také v našich datech, nikoliv však klinicky a neprosadily se do množin genů s prediktivními vlastnostmi.
- 5 Nejsou proto uváděny v našich konečných výsledcích. Varianty WDR57, WDR61 a WDR75 genu WDR12 identifikovaného v této publikaci byly podobně statisticky, nikoliv však klinicky významné v našich datech. Naopak geny CDKN2A, CDKN2B identifikované v souvislosti s incidenčí akutního infarktu myokardu ve výše zmíněné publikaci a dále např. v publikaci autorů Anna Helgadottir, Gudmar Thorleifsson, Andrei Manolescu, Solveig Gretarsdottir, Thorarinn Blondal, Aslaug Jonasdottir, Adalbjorg Jonasdottir, Asgeir Sigurdsson, Adam Baker, Arnar Pallson, Gisli Masson, Daniel F. Gudbjartsson, Kristinn P. Magnusson, Karl Andersen, Allan I. Levey, Valgerdur M. Backman, Sigurborg Matthiasdottir, Thorbjorg Jonsdottir, Stefan Palsson, Helga Einarsdottir, Steinunn Gunnarsdottir, Arnaldur Gylfason, Viola Vaccarino, W. Craig Hooper, Muredach P. Reilly, Christopher B. Granger, Harland Austin, Daniel J. Rader, Svat H. Shah, Arshed A. Quyyumi, Jeffrey R. Gulcher, Gudmundur Thorgeirsson, Unnur Thorsteinsdottir, Augustine Kong, and Kari Stefansson. A common variant on chromosome 9p21 affects the risk of myocardial infarction. *Science (New York, N.Y.)*, 316 (5830): 1491 až 1493, June 2007, Nebyly v našich datech v souvislosti s výskytem akutního infarktu myokardu zjištěny.
- 20 Recentní publikace z roku 2010 naznačují stoupající zájem o aplikaci moderních metod pro studium kardiovaskulárního systému člověka, mezi něž se zařazuje i technologie celogenomové expresní analýzy. Tato technologie umožňuje získání informace o okamžité odpovědi organismu na akutní stádia závažných, život ohrožujících, onemocnění, jakými jsou např. mrtvice či infarkt myokardu. Dovoluje nám současně i nový pohled na desetiletí známý proces. Využitím mononukleárních buněk periferní krve jako zkoumaného materiálu se naskytá reálná možnost získat expresní profily ze snadno a rutinně dostupného biologického materiálu a z těchto profilů poté vytipovat ty signifikantní hladiny genové exprese, které by mohly charakterizovat určitá stádia onemocnění. Takto získaná data se dají v budoucnu použít jako základ pro zlepšení diagnostického komfortu pacienta. Ze studií publikovaných na konci roku 2009 a v průběhu roku 2010 lze zmínit práce, zabývající se úlohou hladin HDL a LDL frakcí cholesterolu či celkového cholesterolu ve vztahu ke genetické predispozici kardiovaskulárních chorob (Anna C. Calkin and Peter Tontonoz. Genome-Wide Association Studie Identify New Targets in Cardiovascular Disease. *Science Translational Medicine* 2(48):48 až 94, 2010; Rong Yang, Lin Li, Sara Bretschger B. Seidelmann, Gong-Qing Q. Shen, Soni Sharma, Shaoqi Rao, Kalil G. Abdullah, Kenneth G. Mackinlay, Robert C. Elston, Qiuyun Chen, Eric J. Topol, and Qing Kenneth K. Wang. A genome-wide linkage scan identifies multiple quantitative trait loci for HDL-cholesterol levels in families with premature CAD and MI. *Journal of lipid research*, 51(6):1442 až 1451, june 2010), nebo práce snažící se predikovat významné geny exprimující se v akutním stádiu mrtvice (Boryana Stamova, Huichun Yu, Glen Jickling, Chryl Bushnell, Yingfang Tian, Bradley P. Ander, Xinhua Zhan, DaZhi Liu, Renee Turner, Peter Adamczyk, Jane C. Khouri, Arthur Pancioli, Edward Jauch, Joseph P. Broderick, and Frank R. Sharp. Gene Expression Profiling of Blood for the prediction of Ischemic Stroke. *Stroke*, 41 (10): 2171 a 2177, October 2010).
- 45 Několik prací se v roce 2010 zabývalo hledáním genetických příčin či nejrůznějších nových biomarkerů ventrikulární fibrilace, která bývá pozorována v akutním stádiu infarktu myokardu a může mít vliv na přežití pacienta (Connie R. Bezzina, Raha Pazoki, Abdennasser Bardai, Roos F. Marsman, Jonas S. de Jong, Marieke T. Blom, Brendon P. Scicluna, J. Wouter Jukema, Navin R. Bindraban, Peter Lichtner, Arne Pfeufer, Nanette H. Bishopric, Dan M. Roden, Thomas Meitinger, Summet S. Chugh, Robert J. Myerburg, Xavier Jouven, Stefan Kääb, Lukas R. Dekker, Hanno L. Tan, Michael W. Tanck, and Arthur A. Wilde. Genome-wide association study identifies a susceptibility locus and 21q21 for ventricular fibrillation in acute myocardial infarction. *Nature genetics*, 42(8): 688 až 691, August 2010; Feng Dong, Mazen Khalil, Matt Kiedrowski, Caitlin O'Connor, Erin Petrovic, Xiaorong Zhou, and Marc S. Penn. Critical role for leukocyte hypoxia inducible factor-1 alpha expression in post-myocardial infarction left ventricular remodeling. *Circulation research*, 106(3):601 až 610, February 2010 Yvan Devaux,
- 50
- 55

Francisco Azuaje, Mélanie Vausort, Céline Yvorra, and Daniel R. Wagner. Integrated protein network and microarray analysis to identify potential biomarker after myocardial infarction. *Functional & integrative genomics*, 10(3): 329 až 337, August 2010).

- 5 Do popředí zájmu se v posledním roce dostává i otázka, zda celkový stres organismu při akutní fázi infarktu myokardu nezhoršuje vlastní prognózu přežití (Jessica M. Berthiaume, Molly S. Bray, Tracy A. McElfresh, Xioaqin Chen, Salman Azam, Martin E. Young, Brian D. Hoit, and Margaret P. Chandler. The myocardial contractile response to physiological stress improves with high saturated fat feeding in heart failure. *American journal of physiology. Heart and circulatory physiology*, 299(2), August 2010). Jsou hledány souvislosti mezi genetickými přičinami myokardu a chronickým onemocněním ledvin (Tetsuo Fujimaki, Kimihiko Kato, Kiyoshi Yokoi, Mitsutoshi Oguri, Tetsuro Yoshida, Sachiro Watanabe, Norifumi Metoki, Hidemi Youshida, Kei Satoh, Yukitoshi Aoyagi, Yoshinori Nozawa, Genjiro Kimura, and Yoshiji Yamada. Association of genetic variants in SEMA3F, CLEC16A, LAMA3, and PCSK2 with myocardial infarction in Japanese individuals. *Atherosclerosis*, 210 (2): 468 až 473, June 2010) či aterotrombózou (Luca Andrea A. Lotta. Genome-wide association studies in atherothrombosis. *European journal of internal medicine*, 21(2): 74 až 78, April 2010).
- 10
- 15

20 Studován byl rovněž vliv microRNA-modul, které jsou popisovány jako negativní regulátory genové exprese a recentní studie naznačují, že mohou hrát významnou roli nejen v rozvoji infarktu myokardu, ale i u dalších kardiovaskulárních poruch člověka (Emanuela Bostjancic, Nina Zidar, and Damjan Glavac. MicroRNA microarray expression profiling in human myocardial infarction. *Disease markers*, 27 (6):255 až 268, 2009). Stále je diskutována biologická role interleukinu 1 ve vztahu k dislipidémii a riziku vzniku infarktu myokardu (Bernard Keavney. The interleukin-1 cluster, Cyslipidaemia and risk of myocardial infarction. *BMC medicine*, 8(1):6+, January 2010).

25

30 Populačně charakteristický obraz rizikových genetických markerů je diskutován v řadě recentních publikací (Paul M. Ridker, Guillaume Paré, Alex N. Parker, Robert Y. Zee, Joseph P. Miletich, and Daniel I. Chasman. Polymorphism in the CETP gene region, HDL cholesterol, and risk of future myocardial infarction: Genomewide analysis among 18 245 initially healthy women from the Women's Genome Health Study. *Circulation. Cardiovascular genetics*, 2(1): 26 až 33, Fervuary 2009; Tetsuo Fujimaki *et al.* Association of genetic variants in SEMA3F, CLEC16A, LAMA3, and PCSK2 with myocardial infarction in Japanese individual. *Atherosclerosis*, 210 (2): 468 až 473, June 2010). Jsou studovány i další typy genetických variací (SNP—single nucleotide polymorphisms a CNV—copy number variantions) ve vztahu ke vzniku a rozvoji infarktu myokardu (Myocardial Infarction Genetics Consortium, Sekar Kathiresan, Benjamin F. Voight, Shaun Purcell, Kiran Musunuru *et al.* genome-wide association of early-onset myocardial infarction with single nucleotide polymorphisms and copy number variant. *Nature genetics*, 41(3):334 až 341, March 2009).

35

40

45 V neposlední řadě je nutné zmínit také práce zabývající se infarktem myokardu na experimentálním zvířeti (Jessica M. Berthiaume *et al.* The myocardial contractile response to physiologic stress improves with high saturated fat feeding in heart failure. *American journal of physiology. Heart and circulatory physiology*, 299(2), Augusts 2010; Dongshend Hong, Xiaowei Zeng, Wei Xu, Jing Ma, Yinghui Tong, and Yan Chen. Altered profiles of gene expression in curcumin-treated rats with experimentally induced myocardial infarction. *Pharmacological Research*, 61(2): 142 až 148, February 2010; Zongjin Li, Kitchener D. Wilson Bryan, Smith, Daniel L. Kraft, Fungjun Jia, Mei Huang, Xiaoyan Xie, Robert C. Robbins, Sanjiv S. Gambhi, Irving L. Weissman, and Joseph C. Wu. Functional and transcriptional characterization of human embryonic stem cell-derived endothelial cells for treatment of myocardial infarction. *PloS one*, 4(12):e8443+, December 2009; Lisheng Zhang, Jessica J. Connelly, Karsten Peppel, Leigh Brian, Svat H. Shah, Sarah Nelson, David R. Crosslin, Tianyuan Wang, Andrew Allen, Williams E. Kraus, Simon G. Gregory, Elizabeth R. Hauser, and Neil J. Freedman. Aging-related atherosclerosis is exacerbated by arterial expression of tumor necrosis factor receptor-1: evidence from

50

55

mouse models and human association studies *Human Molecular Genetics*, 19(14): 2754 až 2766, July 2010; Lars Bochmann, Padmini Sarathchandra, Federica Mori, Enrique Lara-Pezzi, Domenico Lazzaro, and Nadia Rosenthal. Revealing new mouse epicardial cell markers through transcriptomics. *PloS one* 5(6), 2010. Přihláška vynálezu PV 2009-872 navrhuje stanovení prognózy pacientů v akutním stadiu primárního infarktu myokardu stanovením exprese alespoň jednoho či genetického lokusu vybraného ze skupiny zahrnující TCRA, LOC650751, LOC-650761, PRR6 a TMEM98 ve vzorku periferní krve.

Níže popsaný vynález poskytuje sadu genů, která umožňuje stanovení prognózy s vyšší přesností a lepší klinickou shodou.

Podstata vynálezu

Předmětem předkládaného vynálezu je způsob identifikace osob v české populaci se zvýšeným genetickým rizikem úmrtí v důsledku kardiovaskulárních komplikací do 6 měsíců od okamžiku výskytu akutního infarktu myokardu.

Podstata vynálezu spočívá v tom, že se v biologickém vzorku odebraném z těla pacienta, do 24 hodin od výskytu akutního infarktu myokardu, stanoví intenzita exprese sady genů a genetických lokusů.

Název / Lokus genu	RefSeq ID	SEQ ID No.	Referenční hodnota intenzity exprese (nízké riziko) stanovená na celogenomovém / oligonukleotidovém čípu	Min. odchylka od ref. hodnoty exprese, značící zvýšené riziko
ADORA3 (M97723)	NM_020683.5 M97723	1 2	6,30 7,26	+1 -1
ERLIN1	NM_006459.2	3	6,81	+1
TCEA3 (BC070337)	NM_003196.1 BC070337	5 6	7,08 10,87	-1 -1
CLYBL	NM_206808.1	4	6,55	-1
HSD17B8	NM_014234.3	7	7,31	-1
FLT3	NM_004119.1	8	5,99	+1
AXIN2	NM_004655.2	9	7,15	-1
(CR596519)	CR596519	10	11,57	-1

Postup stanovení míry genetického rizika spočívá v tom, že se změří genové exprese v biologickém vzorku a její logaritmovaná hodnota při základu 2 se srovná s referenční hodnotou intenzity exprese uvedenou pro jednotlivé geny a genetické lokusy. V posledním sloupci tabulky je pro každý gen/lokus uvedena minimální odchylka od referenční hodnoty exprese, značící zvýšené riziko. Je třeba mít na paměti, že vypovídací hodnotu má sada jako celek, nikoliv jednotlivé geny/lokusy, a tedy pro naplnění kritéria zvýšeného genetického rizika je nutné, aby se u sledovaného pacienta hodnoty genové exprese lišily od hodnot referenčních alespoň o požadovanou hodnotu u všech genů/lokusů v sadě.

Biologickým vzorkem odebraným z těla pacientů mohou být například buňky periferní krve, které jsou výhodné především pro minimální invazivitu získání potřebného materiálu.

V případě všech zde uváděných genů a genetických lokusů jsou miněny geny a genetické lokusy hybridizující s odpovídajícími sondami na celogenomových čipech Illumina. Sekvence DNA kódující mRNA uváděné v předkládané přihlášce jsou uváděny podle dostupných katalogů pouze pro informaci.

5 Exprese genů a genetických lokusů může být stanovena jakýmkoliv způsobem známým odborníkovi v daném oboru, například na celogenomovém nebo oligonukleotidovém čipu (čipová microarray analýza, např. i tiling čipy), RT-PCR a qPCR, Northern blot, RNA-Seq (RNA sekvenční zpracování, Whole Transcriptome Shotgun Sequencing), SAGE (mnohonásobná analýza genové exprese, serial analysis of gene expression), FISH (fluorescenční in-situ hybridizace), využitím reportérových genů, analýzou ribonukleázové ochrany (Ribonuclease Protection Assay) či na úrovni exprese translatovaných proteinů metodou western blot, ELISA (enzymová imunoanalyza, enzyme-linked immunosorbent assay), využitím GFP (zelený fluorescenční protein, green fluorescent protein), průtokovou cytometrií či imunohistologicky.

10

Předmětem předkládaného vynálezu je dále oligonukleotidový čip pro identifikaci osob se zvýšeným genetickým rizikem úmrtí v důsledku kardiovaskulárních komplikací do 6 měsíců od okamžiku výskytu akutního infarktu myokardu, obsahující právě sondy hybridizující s DNA či RNA uvedené sady genů či genetických lokusů. Oligonukleotidový čip může být připraven např. spoprváním či jakýmkoliv jiným způsobem známým odborníkovi v daném oboru.

15 Předkládaný vynález přináší možnost identifikovat v české populaci jedince, kteří mají zvýšené genetické riziko úmrtí v důsledku kardiovaskulárních komplikací do 6 měsíců od okamžiku výskytu akutního infarktu myokardu, což umožní efektivní využití lůžkových kapacit a prevenčních a sledovacích programů.

20

Vynález je dále osvětlen na následujících příkladech provedení, aniž je jimi jeho rozsah jakkoliv omezen.

25

Přehled obrázků na výkresech

Obr. 1 ukazuje teplotní mapu genů identifikovaných v rámci experimentu genové exprese pro kontrast AIMD6 vs AIM.

30

Obr. 2 ukazuje kvantilovou diagnostiku lineárního modelu pro logaritmovaná data intenzit genové exprese při základu 2 (Q-Q grafy) a dále vulkánové grafy které charakterizují data na základě logaritmu podílu intenzit genové exprese ve studované a srovnávací populaci (viz daný kontrast) a na základě logaritmu šance na diferenciální expresi pro daný gen či transkript. Dává komplexní představu o povaze diferenciální exprese pro daný kontrast.

35

Seznam sekvencí

40

- SEQ ID No. 1: sekvence DNA kódující mRNA genu ADORA3
- SEQ ID No. 2: sekvence DNA odpovídající RefSeq-ID M97723
- SEQ ID No. 3: sekvence DNA kódující mRNA genu ERLIN1
- SEQ ID No. 4: sekvence DNA kódující mRNA genu CLYBL
- SEQ ID No. 5: sekvence DNA kódující mRNA genu TCEA3
- SEQ ID No. 6: sekvence DNA odpovídající RefSeq-ID BC070337
- SEQ ID No. 7: sekvence DNA kódující mRNA genu HSD17B8
- SEQ ID No. 8: sekvence DNA kódující mRNA genu FLT3
- SEQ ID No. 9: sekvence DNA kódující mRNA genu AXIN2
- SEQ ID No. 10: sekvence DNA odpovídající RefSeq-ID CR596519

Příklady provedení vynálezu

5 Příklad 1 Čipová analýza buněk periferní krve pacientů smíchané s RNA later na lidském celogenomovém čípu Human WG6-v2 Expression BeadChip firmy Illumina

Pozn. Kurzívou jsou označeny přesné obchodní názvy produktů či specifické komponenty produktů, které nemají odpovídající jednoznačné české ekvivalenty.

10 Sběr vzorků plné kver do *RNAlater^(R)* (kat. č. AM7024, Ambion, Applied Biosystems) byl prováděn tak, že vzorek nesrážlivé plné krve (2,4 ml) byl nejpozději do 15 min od odběru smíchán s *RNAlater^(R) Tissue Collection: RNA Stabilization Solution* (7,6 ml). Vzorek byl řádně promíchán a poté přesunut do mrazicího boxu -70 °C k dlouhodobému skladování. Izolace RNA pomocí kitu *RiboPureTM – Blood*, Ambion Inc. (kat. č. AM1928, Ambion, Applied Biosystems) byla prováděna tak, že vzorky byly vyndány z mrazicího boxu a ponechány na ledu rozmrazit. Snažili jsme se vždy šestice vzorků jdoucí na jeden čip připravit najednou. Pro izolaci RNA bylo pipetováno 1,8 ml vzorku krve s *RNAlater^(R)* do 2ml zkumavky bez RNase. Vzorek krve v roztoce *RNAlater^(R)* byl centrifugován na 16 100 g (13 200 rpm) 1 min. Supernatant byl odstraněn včetně bílé fáze těsně nad teletem. Buňky byly lyzovány v 800 µl lyzačního roztoku a 50 µl roztoku acetátu sodného. Směs byla řádně promíchána na vortexu. Lyzát buněk byl extrahován s 500 µl kyselého fenol:chloroformu. Směs byla promíchána 30 s na vortexu a ponechána stát 5 min při laboratorní teplotě. Směs byla centrifugována na 16 100 g 1 min. Celá vodná fáze, které bylo kolem 1,2 ml, byla přenesena do nové 2ml zkumavky bez RNase, znova centrifugována a vodná fáze bez jakékoli pelety odebrána do čisté zkumavky bez RNase. Bylo přidáno 600 µl 25 100% etanolu a promícháno na vortexu.

30 700 µl vzorku byl přeneseno na dodanou kolonku umístěnou v kolejční zkumavce a 5 až 10 s centrifugováno na 16 100 g. Kolejční zkumavky byly vyprázdněny a znova do nich byly naneseny kolonky. Do kolonek bylo naneseno dalších 700 µl a poté zbytky vzorku a vždy 5 až 10 s centrifugováno na 16 100 g. Kolejční zkumavky byly vyprázdněny a znova do nich byly vsazeny kolonky. Do kolonek bylo 2x naneseno 700 µl promývacího roztoku 2/3 (láhev musí být doplněna o 56 ml 100% etanolu) a 5 až 10 s centrifugováno na 16 100 g. Kolejční zkumavky byly vyprázdněny a znova do nich byly vsazeny kolonky, centrifugovány, aby byla odstraněna veškerá kapalina. Kolonky byly přeneseny na označenou kolejční zkumavku a naneseno 50 µl elučního roztoku (předehrátého na 75 °C). 20 s ponecháno stát při laboratorní teplotě a 20 až 35 30 s centrifugováno na maximum. Při druhé eluci dalšími 50 µl elučního roztoku centrifugováno 1 min.

40 K RNA ve 100 µl elučního pufru bylo přidáno 5µl DNase pufru a 1 µl DNase I a ponecháno 30 min inkubovat při 37 °C. K RNA po odstranění DNA bylo přidáno 20 µl DNase inaktivacní reagencie. Směs byla jemně promíchána na vortexu a ponechána 2 min stát při laboratorní teplotě. Během této doby byla směs dvakrát promíchána.

45 Vzorek byl centrifugován 1 min na 16 100 g. V peletě byla DNase inaktivacní reagencie. Roztok RNA byl přenesen do nové zkumavky bez RNase.

Byla změřena koncentrace RNA na Nanodropu, Thermo Scientific (1 µl), případně ponechán alikvot pro analýzu na Bioanalyzeru 2100, Agilent Technologies.

50 Po provedení čipové analýzy s takto ošetřenými vzorky RNA bylo zjištěno, že díky použití plné krve dochází k preferenční aplikaci globinových RNA a nedostatečné intenzitě signálu ostatních genů. Proto byly vzorky RNA přečištěny pomocí *GLOBINcleanTM* Kitu firmy Ambion (kat. č. AM1980, Applied Biosystems):

K cca 110 µl vzorku RNA isolované pomocí *RiboPure™ Blood Kit*, Ambion z plné krve s *RNAlater®* bylo přidáno 11 µl octanu sodného (*RiboPure™*), případně 0,35 µl *GlycoBlue* (AM9616, Ambion, Applied Biosystems) a 300 µl 100% ethanolu, vše bylo řádně promícháno. Vzorky byly uskladněny na 1 h v mrazicím boxu při teplotě -20 °C. Pak byly centrifugovány při 16 100 g 30 min, 4 °C, a supernatant byl opatrně odstraněn. Bylo přidáno 0,7 ml ledového 70% ethanolu, vzorek vortexován, centrifugován 10 min při 4 °C a supernatant opatrně odstraněn. Peleta byla rozpuštěna ve 14 µl vody bez nukleáz (v 15 µl pokud chceme v tomto kroku měřit koncentraci na Nanodropu).

V průběhu točení byly připraveny potřebné roztoky:

RNA vazebný pufr. Byly přidány 2 ml 100% isopropanolu do koncentrátu vazebného pufru, promícháno a skladováno při laboratorní teplotě.

RNA promývací roztok: Byly přidány 4 ml 100% etanolu do koncentrátu promývacího roztoku, promícháno a skladováno při laboratorní teplotě.

Kuličky resuspendující směs (1 reakce / 6 reakcí): 10 µl/60 µl RNA vazebné kuličky, 4 µl/24 µl pufru pro RNA kuličky, 6 µl/36 µl 100% isopropanolu. Směs byla homogenizována a skladována při laboratorní teplotě.

Streptavidinové magnetické kuličky (30 µl/vzorek): do inkubátoru (50 °C) byly vloženy zkumavky s 2x hybridizačním pufrem a pufrem pro streptavidinové kuličky minimálně na 15 min, před použitím řádně vortexovány. 6x 30 µl (180 µl) homogenizovaných streptavidinových magnetických kuliček bylo pipetováno do čisté 1,5 ml zkumavky, centrifugováno cca 2 s na méně než 1000 g a zkumavka byla umístěna do magnetického stojánu na dobu 3 až 5 minut (dokud není roztok průsvitný). Supernatant byl opatrně odstraněn a přidáno 6x 30 µl (180 µl) pufru pro streptavidinové kuličky přede hřátého na 50 °C, řádně vortexováno a ponecháno inkubovat po dobu nejméně 15 min při 50 °C před dalším použitím. Ke vzorkům RNA ve 14 µl (1 až 10 µg) byl přidán 1 µl *Capture Oligo Mix*. Ke směsi bylo přidáno 15 µl 2x hybridačního pufru přede hřátého na 50 °C. Vzorky byly krátce vortexovány a rychle centrifugovány při max. 1000 g a ponechány inkubovat při 50 °C po dobu 15 minut (dojde k hybridizaci s globinovou mRNA).

Připravené streptavidinové magnetické kuličky umístěné v inkubátoru byly jemně vortexovány a centrifugovány méně než 2 s na max. 1000 g. Ke každému vzorku RNA bylo přidáno 30 µl připravených streptavidinových magnetických kuliček, směsi řádně promíchány vortexováním, stočeny cca 2 s na 1000 g a ponechány inkubovat 30 min při teplotě 50 °C. Po vyjmutí z inkubátoru jemně vortexovány, centrifugovány cca 2 s na max. 1000 g a zkumavky umístěny do magnetického stojánu na 3 až 5 min (dokud není roztok průsvitný). Supernatanty obsahující celkovou RNA bez globinové mRNA opatrně odstraněny a přeneseny do čistých 1,5 ml zkumavek.

Byl přede hřát eluční pufr na 58 °C. Ke každému RNA vzorku bylo přidáno 100 µl RNA vazebného pufru. Kuličky resuspendující směs řádně homogenizovány vortexováním a následně přidáno 20 µl směsi ke každému vzorku. Směs 10 s řádně vortexována, aby došlo k navázání RNA na kuličky, centrifugovány cca 2 s na 1000 g. Zkumavky byly umístěny do magnetického stojánu na 3 až 5 min (dokud není roztok průsvitný). Opatrně byly odstraněny veškeré supernatanty. Zkumavky byly vyjmuty z magnetického stojánu. Až poté bylo ke každému vzorku přidáno 200 µl RNA promývacího roztoku, řádně 10 s vortexováno, krátce a jemně stočeno (viz výše). Zkumavky se vzorky umístěny do magnetického stojánu na 3 až 5 minut než došlo k usazení magnetických kuliček s navázanou RNA, opatrně byl odstraněn veškerý supernatant a zkumavky vyjmuty ze stojánu. Zkumavky krátce a jemně stočeny, umístěny zpět do magnetického stojánu a malou špičkou byla odstraněna veškerá kapalina. Zkumavky se vzorky vydány z magnetického stojánu a otevřené nechány 5 min na vzduchu oschnout. Ke každému vzorku

5 přidáno 30 µl elučního pufru předehřátého na 58 °C, rádně 10 s vortexováno a směs inkubována 5 minut při 58 °C. Rádně 10 s vortexováno a krátce a jemně centrifugováno (cca 2 s na 1000 g). Vzorky byly umístěny do magnetického stojánku na 3 až 5 minut než došlo k usazení magnetických kuliček. Supernatant obsahující přečištěnou celkovou RNA byl opatrně odebrán do čistých 1,5ml zkumavek.

10 Kritickým parametrem se stal poměr absorbancí u 260 nm ku 230 nm, který má být pro čipovou analýzu vyšší než 1,5. Pro zajištění dostatečné kvality musela být prováděna finální etanolová precipitace. K cca 30 µl vzorku RNA isolované pomocí *RiboPure™ Blood Kit*, Ambion z plné krve s *RNAlater™* přečištěné kitem *GLOBINclear™ Whole Blood Kit* byly přidány 3 µl octanu sodného (*RiboPure™*) a 85 µl 100% etanolu. Rádně promícháno a vzorky uskladněny přes noc v mrazicím boxu při teplotě -20 °C. Ráno centrifugováno při 16 100 g 30 min, 4 °C, supernatant opatrně odstraněn, peleta promyta 0,7 ml vychlazeného 70% etanolu, vzorek vortexován, centrifugován 15 min při 4 °C, a poté veškerý supernatant opatrně odstraněn. Pelety rozpuštěny ve 15 14 µl vody bez nukleáz či dle velikosti pelety a vstupní koncentrace ve větším objemu. Byla změřena koncentrace přečištěné a přesrážené RNA na Nanodropu (1 µl), integrita stanovena pomocí Bioanalyzeru 2100, Agilent Technologies (1 µl) *Agilent RNA 6000 Nano/Pico Kit* (kat. č. 5067 až 1511/5067 až 1513).

20 Pokud to bylo z hlediska výchozího materiálu možné, aby kvantitativní i kvalitativní parametry byly v pořádku (RIN > 7; A_{260/280nm} > 1,8; A_{260/230nm} > 1,5), byla připravená RNA dále amplifikována pomocí *Illumina™ Total Prep RNA Amplification Kit*, Ambion (kat. č. IL1791). Systém biotinem označí amplifikovanou RNA k hybridizaci na čipech. Protokol se skládá z reversní transkripcí s využitím oligo(dT) primeru pro syntézu cDNA obsahující T7 promotorovou sekvenci. K získané cDNA je syntetizován druhý řetězec při využití DNA polymerázy a RNasy H. Přečištěný cDNA produkt vstupuje do in-vitro transkripcí s T7 RNA polymerázou. Výsledná cRNA je následně přečištěna od neinkorporovaných nukleotidů, solí, enzymů a anorganického fosfátu. Vstupní množství RNA, které jsme využívali pro amplifikaci, bylo 150 ng v maximálně 11 µl. Pro jednotlivé kroky byl využit *DNA EngineDyad Peltier Thermal Cycler*, Bio-Rad Laboratories.

35 RNA vzorky o objemu 11 µl (150 ng RNA) byly umístěny do sterilních 0,2ml zkumavek bez RNas. Případně byly do daného objemu naředěny vodou bez nukleáz. Při laboratorní teplotě byl připraven master mix pro reversní transkripci – syntézu jednořetězcové DNA:

40 1 µl T7 oligo (dT) primer
2 µl 10x pufr pro první řetězec (objemy jsou udány na jednu 20 µl reakci)
4 µl směs dNTP (složky byly přidávány v daném pořadí)
1 µl inhibitor RNAs
1 µl ArrayScript (enzym).

45 Master mix byl jemně vortexován a krátce centrifugován (5a). Bylo přidáno 9 µl master mixu do každého vzorku RNA, důkladně promícháno pipetováním (2 až 3x) a 3 až 4x cvrknuto do zkumavek. Krátce centrifugováno a umístěno do bloku cykleru (42 °C). Reakce byly inkubovány 2 h při 42 °C, poté krátce stočeny a dány na led (4 °C).

Na ledu byl připraven master mix pro syntézu druhého řetězce cDNA:

50 63 µl voda bez nukleáz
10 µl 10x pufr pro druhý řetězec (objemy jsou udány na jednu 100 µl reakci)
4 µl směs dNTP (složky byly přidávány v daném pořadí)
2 µl DNA polymerázy
1 µl RNasy H.

Master mix byl jemně vortexován a krátce stočen (5s). Bylo přidáno 80 µl master mixu ke každému vzorku, důkladně promícháno pipetováním (2 až 3x) a 3 až 4x cvrknuto do zkumavek. Krátce centrifugováno, umístěno do předem vychlazeného bloku cykleru na 16 °C. Reakce byly inkubovány 2 h při 16 °C, poté 4 °C.

5 Získaná cDNA byla přečištěna. Centrifugace byly prováděny při 10 000 g a laboratorní teplotě (otáčky nesmí překročit 16 000 g, došlo by k poškození skleněného filtru a vlákna filtru by mohla kontaminovat eluát). Bylo předehřáto dostatečné množství vody bez nukleáz pro eluci na 55 °C (při teplotě ≥ 58 °C dochází k částečné denaturaci dDNA) nejméně 10 min před použitím. Do 10 promývacího pufru bylo přidáno 24 ml etanolu.

15 Ke vzorkům cDNA bylo přidáno 250 µl cDNA vazebního pufru, důkladně promícháno pipetováním (2 až 3x) 3 až 4x poklepáno na zkumavky a krátce stočeno. Kolonky byly umístěny do dodaných promývacích zkumavek a na jejich střed naneseny vzorky (cDNA s cDNA vazebním 20 pufrém). Centrifugováno 1 min 10 000 g, eluát byl zlikvidován. Každou kolonku bylo aplikováno 500 µl promývacího pufru centrifugováno 1 min 10 000 g a eluát byl zlikvidován. Vzorky na kolonkách byly opětovně 1 min centrifugovány 10 000 g (odstranění veškerého promývacího 25 pufru). Kolonky s cDNA byly přendány do elučních zkumavek. Na střed kolonek bylo naneseno 10 µl vody bez nukleáz vytemperované na 55 °C, necháno 2 min stát při laboratorní teplotě a poté centrifugováno 1,5 min 10 000 g. Na střed kolonek byl nanesen druhý alikvot předehřáté vody bez nukleáz – 9 µl, centrifugováno 2 min 10 000 g.

Získaná dvouřetězcová DNA v cca 17,5 µl vody z výsledného eluátu byla použita pro in-vitro transkripcí. Při laboratorní teplotě byl připraven master mix pro syntézu cRNA.

25 2,5 µl T7 10x reakční pufru (objemy jsou udány na jednu 25 µl reakci)
2,5 µl směs T7 enzymu (složky byly přidávány v daném pořadí)
2,5 µl směs biotinem značeným NTP.

30 Master mix byl jemně vortexován a krátce stočen (5s). Bylo přidáno 7,5 µl master mixu ke každému vzorku cDNA, důkladně promícháno pipetováním (2 až 3x) a 3 až 4x cvrknuto do zkumavek. Vzorky krátce centrifugovány a umístěny do bloku cyklenu, kde byly inkubovány při 37 °C po dobu 14 h, poté 4 °C. Reakce byly ukončeny přidáním 75 µl vody bez nukleáz ke každému vzorku cRNA a důkladně, ale jemně, vortexovány.

35 Při následném přečištění došlo k odstranění enzymů, solí a neinkorporovaných nukleotidů. Centrifugace byly prováděny při 10 000 g při laboratorní teplotě (otáčky nesmí překročit 16 000 g, došlo by k poškození skleněného filtru a vlákna filtru by mohla kontaminovat eluát). Bylo předehřáto dostatečné množství vody bez nukleáz pro eluci na 60 °C nejméně 10 min před použitím a byly připraveny kolonky do sběrných zkumavek. Ke každému vzorku ve 100 µl bylo 40 přidáno 350 µl cRNA vazebního pufru. Ihned bylo přidáno 250 µl 100% etanolu, vzorky 3x promíchány pipetováním, ale nevortexovány a necentrifugovány. Po smísení etanolu se vzorkem byla směs přenesena na střed připravených kolonek, centrifugováno 1 min 10 000 g, eluát byl zlikvidován. Na střed každé cRNA kolonky bylo aplikováno 650 µl promývacího pufru, centrifugováno 1 min 10 000 g a eluát byl zlikvidován.

Zkumavky

50 s kolonkami byly centrifugovány další 1 min 10 000 g (odstranění veškerého promývacího pufru) a kolonky poté byly umístěny do nových sběrných zkumavek. Na střed kolonky bylo naneseno 100 µl vody bez nukleáz vytemperované na 60 °C, necháno 2 min stát při laboratorní teplotě a centrifugováno 1,5 min 10 000 g.

Byla změřena koncentrace amplifikované cRNA na Nanodropu (1 µl). Pokud byla nižší než 150 ng/µl či byl nízký poměr absorbancí u 260 nm ku 230 nm, tak byly vzorky precipitovány. Ke vzorku přečištěné cRNA byla přidána 1/10 objemu 3M CH₃COONa, pH 5,2, *RiboPure*TM (10 µl) a 2,5 násobek objemu 100% etanolu (275 µl), důkladně promícháno a ponecháno 60 min v mrazi-cím boxu při -20 °C. Vzorky byly centrifugovány na 16 100 g po dobu 30 až 60 min při 4 °C a opatrně byl odstraněn supernatant. Pelety byly promyty 500 µl 70% etanolu, zkumavky centrifu-govány na 16 100 g po dobu 15 min při 4 °C, supernatant opatrně odstraněn, případně byly znova rychle centrifugovány a odstraněny i zbytky etanolu. Pelety cRNA byly ponechány cca 2 min na vzduchu, aby oschlily. Poté byly suspendovány v požadovaném objemu vody bez nukleáz (\geq 12 µl).

Výtěžek závisel na množství a kvalitě poly(A)RNA) v celkové RNA. Byla změřena koncentrace na NanoDropu (1 µl) a stanoven profil délek cRNA pomocí Bioanalyzera 2100, Agilent (1 µl), který má být mezi 250 až 5500 nt s většinou cRNA mezi 1000 až 1500 NT.

Pokud byla finální koncentrace cRNA \geq 1500 ng/µl a profil v pořádku, byly vzorky použity pro hybridizaci na *Human WG6-v2 Expression BeadChip* firmy Illumina.

Byla předehřátá hybridizační pec s výkyvnou plošinou na 58 °C alespoň 1 h před použitím. Vzorky byly připraveny tak, aby vstupní množství cRNA do hybridizace bylo 1,5 µg. Maximální možný objem je 10 µl, případně vzorky na tento objem byly doplněny vodou bez nukleáz a promíchány. Po dobu 10 min nechány stát při laboratorní teplotě, aby došlo k rádnému rozpuštění. Do hybridizační pece vytemperované na 58 °C byly na 10 min vloženy zkumavky s *GEX-HYB* a *GEX-HCB* (pro rozpuštění skladováním precipitovaných solí). Ke každému vzorku 1,5 µg a cRNA v 10 µl vody bez nukleáz bylo přidáno 20 µl *GEX-HYB*, byly jemně vortexovány a rychle centrifugovány.

Illumina Hyb Chamber Basket byl umístěn do *BeadChip Hyb Chamber*. Bylo pipetováno 200 µl *GEX-HCB* do každého ze dvou reservoárů pro zvlhčující pufr v každé *HybChamber*. Pufr byl dáván pouze do komor, které byly použity. *Hyb Chamber* byl utěsněn víkem a nechán při laboratorní teplotě (~22 °C) než byly čipy dány do *Hyb Chamber*. Na laboratorní teplotu vytemperované čipy byly vydány z jejich obalů (*Human WG6-V2 Expression BeadChip*). Byly používány výhradně rukavice bez pufru. Čipy byly pinzetou drženy za krycí fólii v oblasti barkódu, vloženy do *Hyb Chamber Insert* tak, aby jejich směr souhlasil se symbolem barkódu na *Insertu*.

Analyzované vzorky cRNA smíchané s *GEX-HYB* byly zahřány na 65 °C po dobu 5 min. Jemně vortexovány a rychle centrifugovány, aby byla kapalina shromážděna na dně zkumavky. Před dalším použitím vzorky ponechány při laboratorní teplotě vychladnout a ihned poté byly pipetovány na čipy.

Hyb Chamber Inserts obsahující čipy byly umístěny do *Hyb Chamber* a bylo pipetováno 30 µl analyzovaného vzorku na vstupní otvor každého pole. *Hyb Chamber* opatrně uzavřen víkem a inkubován v hybridizační peci při 58 °C po dobu 16 hodin s rychlosťí kyvů plošiny nastavenou na 5. Před ukončením práce v daný den byl ještě připraven 1x vysokoteplotní promývací pufr přidáním 50 ml 10x koncentrovaného zásobního roztoku ke 450 ml vody bez RNAs. Teplota zahřívacího bloku naplněného 500 ml 1x vysokoteplotního promývacího pufru byla nastavena na 55 °C, víko bylo zavřeno a ponecháno hrát přes noc.

Další den byl připraven promývací roztok E1BC přidáním 3 ml E1BC pufru do 1 l vody bez RNAs. Na laboratorní teplotu byl předehřát blokovací pufr E1 (4 ml/čip). Bylo přidáno odpovídající množství blokovacího pufru E1 (2 ml/čip) se streptavidin–Cy3 (2 µl zásobního roztoku o koncentraci 1 mg/ml na jeden čip). Byla použita jedna kónická zkumavka pro všechny aktuálně zpracovávané čipy a před detekcí byl tento roztok uchováván v temnu.

Z hybridizační pece byla vyndána *Hyb Chamber* a rozebrána. Čipy byly ponořeny do 250 ml promývacího roztoku E1BC a byla z nich opatrně oddělána krycí fólie. Rozebrání a umístění v E1BC promývacím roztoku bylo opakováno pro všechny aktuálně zpracovávané čipy. Čipy byly následně umístěny do držáku, který byl za rukojet' přemístěn do *Hybex waterbath Insert* obsahujícího 1x vysokoteplotní promývací pufr přes noc předehřátý na 55 °C. Se zavřeným víkem byly čipy bez třepání inkubovány 10 min. Během této inkubace bylo připraveno 250 ml promývacího roztoku E1BC v čisté barvicí nádobě. Ihned po 10min inkubaci s vysokoteplotním promývacím pufrém byl držák s čipy přesunut do připraveného čerstvého promývacího roztoku E1BC. Držák krátce a intenzivně v nádobě protřepán pohybem nahoru a dolů, poté na 5 min umístěn na rotační třepačku na maximální rychlosť, při které nedocházelo k vyšplíchnutí roztoku z nádoby (120 rpm). Přemístěn do čisté barvicí nádoby s 250 ml 100% etanolu. Krátce a důsledně pomocí rukojetí držáku byly čipy proprány a poté 10 min třepány na orbitální třepačce při maximální rychlosti. Čipy byly přemístěny do čisté barvicí nádoby s 250 ml promývacího roztoku E1BC, krátce a intenzivně promíchány a třepány na orbitální třepačce po dobu 2 min. Čipy byly přemístěny do připravených *Wash Tray* se 4 ml blokovacího pufru E1, dány na výkyvnou desku (analyzovaná plocha se vzorky musí vždy směřovat nahoru) a kívány na střední rychlosť po dobu 10 min. Čipy byly přendány do čisté *Wash Tray* se 2 ml blokovacího pufru E1 + streptavidin–Cy3, přikryty víkem a kívány na střední rychlosť dalších 10 min. Čipy byly přesunuty do připravené čisté barvicí nádoby s 250 ml promývacího roztoku E1BC, krátce proprány a poté 5 min roztečně třepány při laboratorní teplotě. Čipy v držáku byly přesunuty do centrifugy s rotorem na mikrodestičky a točeny při laboratorní teplotě n 270 rcf po dobu 4 min. Usušené čipy byly ihned skenovány pomocí *Illumina^(R) BeadArray Readeru* na skenování faktoru 1,0 a 1,5 a získaná data jsou uchovávána na DVD a webovém úložišti dat.

Příklad 2: Statistické vyhodnocení expresního profilu

Předkládaný vynález je doložen výsledky, které jsou obdrženy na základě celogenomové analýzy vzorků periferní krve získaných od jedinců hospitalizovaných v letech 2006 až 2009 a Městské nemocnici Čáslav či kardiologické klinice v Pardubicích s diagnózou primárního akutního infarktu myokardu a párových kontrolních osob hospitalizovaných v Městské nemocnici v Čáslavi ve stejném období z důvodu komplikací pohybového ústrojí. Věk případů byl omezen hranicí 80 let. Párové kontrolní osoby nesmely mít pozitivní historii výskytu závažných kardiovaskulárních onemocnění a byly k odpovídajícím případům vybírány tak, aby docházelo k podstatné shodě v rizikových faktorech výskytu akutního infarktu myokardu. Zejména byla požadována shoda v pohlaví, věku (kontroly mohly být o maximálně 5 let starší než případy) a shodný musel být též status diabetu mellitu a kuřácký status. Vzorky byly analyzovány pomocí technologie firmy Illumina, přičemž byly použity čipy verze 2 (*Human WG6-v2 Expression BeadChip*).

Ke genetickému vyšetření pacientů s akutním infarktem myokardu byly zařazovány osoby, které byly přijaty či ambulantně ošetřeny s diagnosou akutního infarktu myokardu (AIM) na příjmové ambulanci Interního oddělení MN Čáslav. Do souboru byli rovněž zařazováni pacienti, kteří byli vezeno posádkou rychlé záchranné služby přímo na Kardiologickou kliniku v Pardubicích, kde byl na koronární jednotce proveden odběr krevního vzorku. Odběr byl vždy proveden po podepsání „Informovaného souhlasu“ pacientem. Smíchání vzorků venózní krve s *RNAlater^(R)*, jejich uskladnění a transport krevních vzorků byly prováděny dle pracovních protokolů v souladu s platnými právními předpisy a veškerá data ke vzorkům jsou uložena v příslušných databázích.

Akutní infarkt myokardu byl diagnostikován na základě anamnestických údajů, EKG křivky laboratorního průkazu nekrosy myokardu. Byl definován jako bolest na hrudi nebo její ekvivalent trvající alespoň 10 min v posledních 24-ti hodinách s elevací ST na EKG křivce (STEMI) či bez elevací ST (NONSTEMI). Biologický průkaz nekrózy byl stanovován v naší laboratoři vyšetřením Troponinu I. Jako pozitivní hodnotu Troponinu I bylo považováno překročení horního limitu normální hodnoty v čáslavské laboratoři, tj. 0,3 µl/l. Jako pomocná diagnostická metoda byla používána echokardiografie k průkazu regionální poruchy kinetiky levé

komory v povodí „infarktové tepny“. Jako standardní panel vyšetření pacientů s podezřením na AIM byl vyšetřován Troponin I okamžitě při přijetí a dále ve 4 až 6 hodinovém intervalu v prvních 24 hodinách, AST, ALT, KO, Koagulace (QT, APTT), glykémie, ionogram, Urea, kyselina močová, lipidogram, CRP, u diabetiků HBA1c. Vyšetření CK a CK-MB mass a LD bylo prováděno nepravidelně dle uvážení lékaře.

Studie zahrnovala šestiměsíční sledování pacientů s akutním infarktem myokardu od okamžiku jeho výskytu. V návaznosti na zvolený statistický design byla skupina pacientů s výskytem akutního infarktu myokardu rozdělena na osoby, které z kardiovaskulárních příčin zemřely v průběhu šestiměsíčního sledování A(IMD6, 4 osoby) a na osoby, které přežívaly dále (AIM, 41 osob), párové kontroly čítaly dalších 45 osob. Tabulka 1 ukazuje vybraná data osob v analyzovaném souboru a základní data ke zpracovaným vzorkům.

Tabuľka 1: Základní data k osobám z analyzovaného souboru a k analyzovaným krevním vzorkům odebraným z těla těchto pacientů

ID	Vzorek	Pohlaví	Ročník	Exitus	Diabetes mellitus	Kouření	c RNA (ng/µl)	RIN	µg cRNA
C129	AIM	Muž	1948	Ne	Ne	Ano (20)	243,68	7,8	8,522
C184	AIM	Muž	1947	Ne	Ne	Ano (10)	163,76	8,8	8,813
C056	AIM	Muž	1953	Ne	Ne	Ano (15)	109,2	7,4	13,577
P008	AIM	Žena	1949	Ne	Ne	Ne	41,9	8,1	8,752
P009	AIM	Muž	1951	Ne	Ne	Ano (2)	28,6	7,1	5,108
C029	AIM	Muž	1955	Ne	Ne	Ne	43,3	7,1	9,496
C048	AIM	Žena	1960	Ne	Ne	Ne	170,3	8,5	16,748
C099	AIM	Muž	1951	Ne	Ne	Ne	261,2	8,0	10,146
C170	AIM	Žena	1929	Ne	Ne	Ne	404,7	6,1	2,390
C172	AIM	Žena	1931	Ne	Ano	Ne	353,0	7,7	8,093
C181	AIM	Žena	1934	Ne	Ano	Ne	195,2	8,1	8,633
C069	AIM	Muž	1941	Ne	Ne	Ne	185,3	8,7	6,997
P011	AIM	Muž	1947	Ne	Ne	Ne	245,2	6,9	4,194
C147	AIM	Muž	1945	Ne	Ne	Ne	317,5	6,7	5,176
C005	AIMD6	Muž	1939	Ano	Ne	Ne	89,5	8,1	7,351
C053	AIMD6	Žena	1935	Ano	Ne	Ne	327,1	7,7	8,389
P010	AIMD6	Žena	1928	Ano	Ano	Ne	188,3	8,1	8,248
C185	AIM	Muž	1937	Ne	Ano	Ne	191,54	8,2	7,695
C195	AIM	Muž	1946	Ne	Ano	Ne	293,41	8,2	13,269
C284	AIM	Muž	1953	Ne	Ne	Ano (20)	210,06	7,4	8,364
C194	AIM	Muž	1933	Ne	Ne	Ne	160,62	8,0	15,856
C238	AIM	Muž	1934	Ne	Ano	Ne	204,88	7,8	8,750
C078	AIMD6	Muž	1937	Ano	Ano	Ne	170,38	8,2	15,901
C016	AIM	Muž	1944	Ne	Ne	Ne	84	7,1	6,802
C074	AIM	Muž	1943	Ne	Ne	Ne	209,2	6,9	7,509
P003	AIM	Žena	1936	Ne	Ne	Ano (10)	113,8	6,8	7,505
C037	AIM	Žena	1933	Ne	Ano	Ne	226,2	8,5	3,76
C036	AIM	Žena	1934	Ne	Ne	Ne	31,4	6,2	2,986
C030	AIM	Muž	1951	Ne	Ne	Ne	152,2	8,7	3,186
C108	AIM	Muž	1955	Ne	Ne	Ano (15)	197,9	7,5	10,566
C119	AIM	Muž	1948	Ne	Ne	Ano (2)	365	7,1	6,499
C065	AIM	Žena	1933	Ne	Ano	Ne	79,7	7,6	2,536
C039	AIM	Žena	1959	Ne	Ano	Ne	434,2	6,5	7,939
C125	AIM	Muž	1928	Ne	Ano	Ne	184,7	8,4	4,120
C139	AIM	Muž	1939	Ne	Ne	Ne	126,5	8,4	7,674
C120	AIM	Muž	1949	Ne	Ne	Ne	103,6	8,7	4,480
C063	AIM	Žena	1941	Ne	Ne	Ne	282,9	8,5	4,526

ID	Vzorek	Pohlaví	Ročník	Exitus	Diabetes mellitus	Kouření	c (ng/µl) RNA	RIN	µg cRNA
C205	AIM	Muž	1944	Ne	Ano	Ano (10)	85,7	8,4	7,141
C174	AIM	Muž	1950	Ne	Ne	Ne	127,97	8,0	6,820
C182	AIM	Muž	1954	Ne	Ne	Ano (40)	97,47	8,1	12,236
C289	AIM	Muž	1957	Ne	Ne	Ne	213,42	8,0	9,322
C019	AIM	Žena	1930	Ne	Ne	Ne	36,59	7,7	3,043
C013	AIM	Muž	1939	Ne	Ano	Ne	194,74	7,9	4,813
C269	AIM	Muž	1938	Ne	Ne	Ne	320,41	8,2	4,974
P019	AIM	Žena	1931	Ne	Ano	Ne	86,65	7,9	4,535
C083	CTRL	Muž	1947	Ne	Ne	Ano (5)	186,6	8,4	15,045
C250	CTRL	Muž	1946	Ne	Ne	Ano (25)	10,04	7,7	1,907
C138	CTRL	Muž	1950	Ne	Ne	Ano (15)	290,9	7,1	6,189
C081	CTRL	Žena	1949	Ne	Ne	Ne	58,4	6,7	9,044
C149	CTRL	Muž	1949	Ne	Ne	Ano (20)	47,39	7,6	5,758
C014	CTRL	Muž	1955	Ne	Ne	Ne	51,74	7,2	2,403
C133	CTRL	Žena	1960	Ne	Ne	Ne	177,2	8,6	9,447
C101	CTRL	Muž	1951	Ne	Ne	Ne	237,38	8,7	10,019
C109	CTRL	Žena	1928	Ne	Ne	Ne	302,8	8,5	9,941
C022	CTRL	Žena	1929	Ne	Ano	Ne	232,48	7,6	8,534
C023	CTRL	Žena	1931	Ne	Ano	Ne	223,54	8,1	4,486
C213	CTRL	Muž	1941	Ne	Ne	Ne	124,24	7,8	7,42
C282	CTRL	Muž	1948	Ne	Ne	Ne	297,68	7,0	3,988
C260	CTRL	Muž	1946	Ne	Ne	Ne	147,18	8,5	8,003
C010	CTRL	Muž	1938	Ne	Ne	Ne	301,91	8,0	7,3
C163	CTRL	Žena	1934	Ne	Ne	Ne	112,15	7,9	6,127
C208	CTRL	Žena	1928	Ne	Ano	Ne	246,12	7,8	4,79
C348	CTRL	Muž	1937	Ne	Ano	Ne	94,68	7,8	14,11
C304	CTRL	Muž	1946	Ne	Ano	Ne	213,16	8,5	17,068
C302	CTRL	Muž	1952	Ne	Ne	Ano (10)	80,07	8,2	15,571
C098	CTRL	Muž	1932	Ne	Ne	Ne	200,5	7,3	8,272
C272	CTRL	Muž	1930	Ne	Ano	Ne	91,86	8,3	8,709
C287	CTRL	Muž	1936	Ne	Ano	Ne	145,6	8,3	8,272
C198	CTRL	Muž	1944	Ne	Ne	Ne	270,3	7,2	7,32
C204	CTRL	Muž	1943	Ne	Ne	Ne	249,8	6,6	8,982
C209	CTRL	Žena	1937	Ne	Ne	Ano (10)	191	7,4	13,377
C124	CTRL	Žena	1933	Ne	Ano	Ne	64,91	8,6	2,198
C110	CTRL	Žena	1934	Nc	Ne	Ne	207,59	8,0	4,37
C150	CTRL	Muž	1952	Ne	Ne	Ne	130,5	8,4	2,566
C058	CTRL	Muž	1954	Ne	Ne	Ano (8)	327,4	9,2	6,875
C066	CTRL	Muž	1947	Ne	Ne	Ano (10)	345,4	6,2	8,219
C118	CTRL	Žena	1934	Ne	Ano	Ne	79,4	6,0	9,242
C210	CTRL	Žena	1960	Ne	Ano	Ne	577,3	7,4	3,562

ID	Vzorek	Pohlaví	Ročník	Exitus	Diabetes mellitus	Kouření	c (ng/µl) RNA	RIN	µg cRNA
C310	CTRL	Muž	1929	Ne	Ano	Ne	127,05	8,5	6,859
C294	CTRL	Muž	1939	Ne	Ne	Ne	120,56	7,0	7,361
C187	CTRL	Muž	1949	Ne	Ne	Ne	123,56	7,5	3,689
C011	CTRL	Žena	1940	Ne	Ne	Ne	28,12	7,3	2,632
C116	CTRL	Muž	1941	Ne	Ano	Ano (20)	111,21	7,9	10,515
C274	CTRL	Muž	1950	Ne	Ne	Ne	209,68	7,8	4,306
C168	CTRL	Muž	1953	Ne	Ne	Ano (20)	69,67	8,5	10,008
C061	CTRL	Muž	1955	Ne	Ne	Ne	164,27	8,3	8,27
C106	CTRL	Žena	1928	Ne	Ne	Ne	27,9	8,3	5,31
C207	CTRL	Muž	1937	Ne	Ano	Ne	82,02	8,7	10,79
C206	CTRL	Muž	1934	Ne	Ne	Ne	142,91	7,8	4,888
C221	CTRL	Žena	1929	Ne	Ano	Ne	210,16	8,0	4,3

Tabulky 2 a 3 shrnují popisné charakteristiky relevantních klinických a demografických údajů. Kompletní datový soubor obsahoval záznamy o 45 pacientech s primárním výskytem akutního infarktu, z toho 41 ve skupině AIM a 4 ve skupině AIMD6, a dále záznamy od 45 kontrolních pacientech. V datovém souboru bylo 60 mužů a 30 žen. Ve skupině AIM bylo 13 žen a 28 mužů, ve skupině AIMD6 bylo 10 kuřáků a 31 nekuřáků, ve skupině AIMD6 byly všechny osoby nekuřáci a ve skupině CTRL bylo 10 kuřáků a 35 nekuřáků. Co se týče diabetu mellitu II. typu, ve skupině AIM bylo 12 osob s touto diagnózou a 29 bez ní, ve skupině AIMD6 byly 2 osoby s touto diagnózou a 2 bez ní a konečně ve skupině CTRL (Kontroly) bylo 14 pacientů s touto diagnózou a 31 bez ní.

Tabulka 2: Počty pacientů a procentuální vyjádření zastoupení popisných charakteristik kategorických veličin

Proměnná		Počty a procentuální údaje ve skupinách		
		AIM	AIMD6	Kontroly
Pohlaví	Muži	28 (68 %)	2 (50 %)	30 (67 %)
	Ženy	13 (32 %)	2 (50 %)	15 (33 %)
Kouření	Kuřáci	10 (24 %)	0 (0 %)	10 (22 %)
	Nekuřáci	31 (76 %)	4 (100 %)	35 (78 %)
Diabetes mellitus II. typu	ANO	12 (29 %)	2 (50 %)	14 (31 %)
	NE	29 (71 %)	2 (50 %)	31 (69 %)

Tabulka 3: Popisné charakteristiky spojitéch veličin

Skupina	Věk pacienta		
	N	Průměrná hodnota	Směrodatná odchylka
AIM	41	63,6	9,18
AIMD6	4	72,3	4,73
Kontroly	45	65,5	9,42

Vzorky venózní krve odebrané od pacientů byly zpracovávány postupem podle Příkladu 1. Data genové exprese byla analyzována pomocí lineárních modelů pro analýzu dat z microarray experimentů „limma“ (Smyth, G. K.: Linear models and empirical Bayes methods for assessing differential expression in microarray experiments, 2004, *Statistical Applications in Genetics and Molecular Biology* 3, No. 1, Article 3, doi:10.2202/1544 až 6115.1027), navržených pro statistický a grafický systém R (<http://www.r-project.org>) v rámci projektu Bioconductor (<http://www.bioconductor.org>). Data byla normalizována pomocí kvantilové normalizace (Smyth G. K. and Speed T. P.: Normalization of cDNA microarray data, 2003, *Methods* 31, 265 až 273, doi:10.1016/j.physletb.2003.10.071). Šum signálu na pozadí čipu, u kterého se předpokládá normální rozložení, byl odstraněn pomocí konvolučního modelu. Tento model předpokládá, že signál z čipu čtený pomocí skeneru je směsí normálně rozděleného šumu a exponenciálně rozděleného signálu intenzit genové exprese (Ritchie M. E., Silver J., Oshlack A., Holmes M., Diyagama D., Holloway A., Smyth G. K.: A comparison of background correction methods for two-colour microarrays, 2007, *Bioinformatics* 23, 2700 až 2707, PMID:17720982).

Medicínská hypotéza předpokládala možnost genetické determinace (predispozice) výskytu akutního infarktu myokardu vzhledem k obecné české populaci jak v populaci pacientů přežívajících období šestiměsíčního sledování (kontrast AIM vs Kontroly), tak též u pacientů v tomto období zemřelých (kontrast AIMD6 vs Kontroly). Podobně byla předpokládána vyšší genetická zátěž u pacientů s výskytem infarktu, kteří zemřeli v období šestiměsíčního sledování, v porovnání s populací pacientů přežívající srdeční příhodu dlouhodoběji (kontrast AIMD6 vs AIM). Párový statistický design byl zvolen s cílem snížit počty odhadovaných parametrů, které by jinak bylo nutné zohlednit jako možné zavádějící faktory (pohlaví, věk, výskyt kouření a diabetu mellitu) a dále odlišit klinickou a genetickou komponentu komplexního rizika výskytu akutní srdeční příhody. Síla statistických testů je navíc v párovém designu v porovnání s dvou- a vícevýběrovými plány statistických studií typicky vyšší.

Vzhledem k tomu, že o Illumina čipech je známo, že aktuální naměřené hodnoty intenzit genové exprese bývají na jednotlivých čipech plošně posunuty o neznámou konstantu, je tuto skutečnost nutné zohlednit v rámci statistické analýzy a odpovídající korekční konstanty je třeba odhadnout v lineárním modelu. Z tohoto důvodu také není vhodné uvažovat o korelacích mezi naměřenými hodnotami intenzit genové exprese a hodnotami klinických proměnných. Relevantní závěry proto nutně vycházejí pouze z výsledků obdržených z lineárního modelu, kde jsou lineární efekty jednotlivých čipů na hodnoty intenzit genové exprese adjustovány. Lineární statistický model (*limma*) zohledňoval vliv použitého čipu na hodnoty intenzit genové exprese. Intenzity genové exprese vstupovaly do lineárního modelu jako dvojkové logaritmy původních hodnot. Obrázky 2a a 2b ukazují diagnostiku lineárního modelu pro logaritmovaná data intenzit genové exprese při základu 2 pro všechny tři uvažované kontrasty pomocí Q-Q kvantilových grafů. Ideální kvantilový Q-Q graf by měl mít shodné empirické a teoretické hodnoty kvantiliů, takže všechny zobrazené hodnoty by ležely na přímce. Q-Q grafy shodně potvrzují, že použití lineárního modelu je všech třech případech adekvátní. Lineární model můžeme schematicky popsat následovně:

$\log_2(\text{intenzita}) \sim \text{pár} + \text{skupina}$,

přičemž proměnná „pár“ identifikuje dvojici případu a odpovídající párové kontroly, která byla vždy umístěna na stejném Illumina čipu. Proměnná „skupina“ kóduje příslušnost k populacím AIM, AIMD6 a Kontrol. Tento model je zobecněnou verzí párového testu.

Množiny genů identifikované na základě výsledků z lineárního *limma* modelu byly dále analyzovány pomocí PAM modelu, s jehož pomocí byla pro každý kontrast zjištěna podmnožina genů s prediktivními vlastnostmi v nezávislých výběrech. Lineárním modelem dříve zjištěné množiny genů mohou až „příliš dobře“ vysvětlovat konkrétní data, ze kterých jsou výsledky odvozeny (tzv. „over-fitting“), ovšem na úkor prediktivity v nezávislých výběrech. K tomuto účelu byl využit PAM model („Predictive Analysis for Microarrays“), který pomocí křížové validace a využití „shronkage“ principu identifikuje podmnožinu genů, která by měla mít optimální vlastnosti z hlediska určování pravděpodobné příslušnosti sledovaných jedinců k některé ze sledovaných populací (AIMD6, AIM a Kontroly).

Za diferenciálně exprimované byly obecně považovány geny, které splňovaly jak podmínu statistické významnosti na hladině 5%, tak též klinické významnosti, která předpokládá, že dvojkový logaritmus podílu hodnot intenzit genové exprese je v absolutní hodnotě větší nebo roven jedné. Statistická analýza prokázala statisticky i klinicky významnou asociaci mezi krátkodobou úmrtností subjektů (v horizontu 6 měsíců po primární akutní srdeční příhodě) a jejich expresním genovým profilem u 15 genů v případě diagnostického kontrastu AIMD6 vs Kontroly a u 10 genů v případě prognostického kontrastu AIMD6 vs AIM. Prediktivní diagnostická množina genů pro kontrast AIM vs Kontroly čítala 13 genů a v *limma* modelu byla pouze statisticky signifikantní na hladině statistické významnosti $\alpha = 0,10$. Tuto množinu již nebylo možné dále redukovat pomocí PAM modelu.

Popis výsledků

Geny resp. transkripty uvedené v následujících tabulkách specifikují *prediktivní diagnostickou a prognostickou množinu genů* pro kontrast AIMD6 vs. AIM, které byly získány následujícím postupem: nejprve byla pomocí *limma* modelu („Linear Models for Microarray Data“, <http://bioinf.wehi.edu.au/limma/>) na úrovni celého lidského genomu (na Illumina čipech verze 2 bylo zmapováno celkem 25036 genů) identifikována množina statisticky (q -hodnota $\leq 0,05$) i klinicky významných genů ($|\log_2\text{-fold change}| \geq 1$, tj. alespoň dvojnásobná změna intenzity genové exprese směrem nahoru nebo dolů). Tato množina byla následně redukována aplikací prediktivního PAM modelu (Prediction Analysis for Microarrays, <http://www-stat.stanford.edu/~tibs/PAM/>), navrženého k vyhledávání množin genů s prediktivními vlastnostmi v nezávislých výběrech. Výskyt opakovaných pozorování (tj. technických replikátů) u 7 pacientů byl na úrovni *limma* modelu ošetřen použitím smíšeného lineárního modelu pro korelovaná data. Sekvence sond jsou uvedeny v tabulce 5.

V Tabulce 4 je uvedena prediktivní množina genů identifikovaná v rámci vynálezu, která se u pacientů s výskytem akutního infarktu myokardu jeví z hlediska genové exprese jako prognostická ve smyslu zvýšeného rizika úmrtí v důsledku kardiovaskulárních komplikací, a to v krátkodobém časovém horizontu (tj. do 6 měsíců od okamžiku výskytu srdeční příhody). Jedná se o sestavu 10 genů (gen CLYBL byl identifikován ve dvou transkriptech, Illumina ID 3180392 a 6550437), jejichž expresní intenzity, stanovené do čtyřadvaceti hodin od okamžiku primárního výskytu akutní srdeční události, se ve skupinách pacientů zemřelých v období 6 měsíců po srdeční příhodě (AIMD6) a skupině pacientů přežívající výskyt srdeční události po dobu sledování 6 měsíců (AIM) statisticky i klinicky významně odlišovaly. Tato množina exprimovaných genů charakterizuje zvýšenou stresovou zátěž organismu, která měla za následek úmrtí pacienta v průběhu šestiměsíčního sledování od okamžiku výskytu akutního infarktu myokardu v důsledku kardiovaskulárních komplikací.

Uvedená množina 10 genů byla stanovena na základě celogenomové analýzy genové exprese vzorků lidské venózní krve odebrané z těla pacientů s primárním výskytem infarktu myokardu. Průměrné hodnoty logaritmované genové exprese při základu 2 v populacích AIMD6 a AIM jsou uvedeny v tabulce 4. Simultánně zvýšené hodnoty intenzit genové exprese 3 genů (ADORA3, ERLIN1 a FLT3) a současně hodnoty snížené u 7 genů/transkriptů (RefSeq_ID „M97723“, CLYBL, TCEA3, RefSeq_ID „BC070337“, HSD17B8, AXIN2 a RefSeq_ID „CR596519“) indikují příslušnost pacienta k rizikové populaci AIMD6. Obecně naznačují zvýšené riziko úmrtí pacienta v krátkodobém časovém horizontu (do 6 měsíců od okamžiku výskytu srdeční příhody) v důsledku výskytu akutního infarktu myokardu. Diagnóza na základě exprese uvedených genů, stanovené jak je popsáno v tomto vynálezu, by měla implikovat zvýšenou post-traumatickou léčebnou péči o tyto pacienty, jejichž prognóza je z hlediska přežití v krátkodobém časovém horizontu od okamžiku výskytu srdeční příhody statisticky i klinicky významně méně příznivá.

15 Tabulka 4: Prediktivní prognostická množina genů pro kontrast AIMD6 vs AIM

Illumina ID	Název / Lokus genu	RefSeq_ID	Průměrná exprese	log ₂ FC	q-hodnota	Pravděpod. Diff. Expr.
4730669	ADORA3	NM_020683.5	6,33	1,78	0,0490	0,852
6940246	(M97723)	M97723	7,05	-1,52	0,0130	0,997
1690309	ERLIN1	NM_006459.2	6,79	1,19	0,0490	0,823
3180392	CLYBL	NM_206808.1	6,79	-1,08	0,0234	0,978
5490634	TCEA3	NM_003196.1	7,09	-1,66	0,0381	0,938
6760670	(BC070337)	BC070337	10,81	-1,42	0,0490	0,805
6550437	CLYBL	NM_206808.1	6,53	-1,18	0,0130	0,988
3130019	HSD17B8	NM_014234.3	7,30	-1,06	0,0490	0,818
1230333	FLT3	NM_004119.1	6,04	1,14	0,0490	0,838
5090368	AXIN2	NM_004655.2	7,09	-1,49	0,0388	0,932
670041	(CR596519)	CR596519	11,51	-1,45	0,0490	0,828

Illumina ID ... Illumina identifikátor genu

RefSeq_ID ... NCBI Reference Sequence ID ("Accession number")

Průměrná exprese ... Průměrná hodnota intenzit genové exprese ve spojeném souboru

log₂FC ... Dvojkový logaritmus adjustovaného podílu intenzit ve skupinách AIMD6 a Kontrol

q-hodnota ... Storeyho adjustace dosažené hladiny významnosti pro mnohonásobná porovnávání (Storey JD, Tibshirani R. Statistical significance for genomewide studies. Proc Natl Acad Sci U S A. 2003 Aug 5;100(16):9440-5. Epub 2003 Jul 25. PubMed PMID: 12883005; PubMed Central PMCID: PMC170937.)

Pravděpod. Diferenciální Expresce ... Pravděpodobnost, že sledovaný gen je skutečně diferenciálně exprimován

Tabulka 5: Sekvence sond prediktivní prognostické množiny genů pro kontrast AIMD6 vs AIM

Illumina ID	Sekvence sondy	Definice
4730669	GTAGTCAGAGGAGCTAT GATAGACCACACCCAA GCAAGGCTGCCCTCAAA	Lidský receptor adenosinu A3, transkripční varianta 1 (Homo sapiens adenosine A3 receptor (ADORA3), transcript variant 1), mRNA.
6940246	GTACCGTCAGCAACCTG GACAGAGCCTGACACTG ATCGCAACTGCAAATC	Lidský T-buněčný receptor (Human T-cell receptor (V beta 4.1-variant, J beta 2.1, C beta 2)), mRNA.
1690309	TGTTGCCCAAAGTGAT GGCCCTGGAGGCGGGG CTGAGGAACAGGGAAA T	Lidský ER lipidový nosič 1 (Homo sapiens ER lipid raft associated 1 (ERLIN1)), mRNA.
3180392	AGGGTATTGAAGCTGCA GAGGGATCAACTTGTGC TTGCCAGAGGACGCCA	Lidská beta-podobná citrátová lyáza (Homo sapiens citrate lyase beta like (CLYBL)), mRNA.
5490634	ACCAGGTGCAGACACG CAGTGCTGATGAGCCC TGACTACCTTTGTCTTA	Lidský transkripční prodlužovací faktor A, 3 (Homo sapiens transcription elongation factor A (SII), 3 (TCEA3))), mRNA.
6760670	AGTAACCCATATATCC AGAACCTGACCCCTGCC GTGTACCAGCTGAGAG	Lidský T-buněčný receptor, alfa lokus (Homo sapiens T cell receptor alpha locus), mRNA (cDNA clone MGC:88342 IMAGE:30352166), complete cds.
6550437	TCGACATGCCATTACTG AAGCAGGCCAGAACAA CTGTTACGCTTGCCACC	Lidská beta-podobná citrátová lyáza (Homo sapiens citrate lyase beta like (CLYBL)), mRNA.
3130019	CCGATGGGACACTTGGG GGACCCCTGAGGATGTGG CAGATGTGGTCGCATT	Lidská hydroxysteroidní (17-bty) dehydrogenáza 8 (Homo sapiens hydroxysteroid (17-beta) dehydrogenase 8 (HSD17B8))), mRNA.
1230333	GGATTGGGGCTACTCT CTCCGCAGGCTCAGGTC GAAGATTCGTAGAGGA	Lidská fms-příbuzná tyrosinová kináza 3 (Homo sapiens fms-related tyrosine kinase 3 (FLT3))), mRNA.
5090368	ACAGTACCTGTACCTGC ACGGTCACCCGCTCCGT GTGTGCCCTATATTG	Lidský axin 2 (Homo sapiens axin 2 (conductin, axil) (AXIN2))), mRNA.
670041	AAACCCGTCACCCAGAT CGTCAGCGCCGAGGCCT GGGGTAGAGCAGGTGA	Lidský cDNA klon placentálního lůžka (full-length cDNA clone CS0DI056YK21 of Placenta Cot 25-normalized of Homo sapiens (human)).

Tabulka 6: Průměrné hodnoty logaritmovaných genových expresí prediktivní prognostické množiny genů pro kontrast AIMD6 vs AIM

Illumina ID	Název / Lokus Genu	Průměrná Expresce	
		AIMD6	AIM ^(*)
4730669	ADORA3	7,66	6,30
6940246	(M97723)	6,13	7,26
1690309	ERLIN1	7,89	6,81
3180392	CLYBL	5,93	6,84
5490634	TCEA3	5,97	7,08
6760670	(BC070337)	9,74	10,87
6550437	CLYBL	5,75	6,55
3130019	HSD17B8	6,49	7,31
1230333	FLT3	6,77	5,99
5090368	AXIN2	6,33	7,15
670041	(CR596519)	10,72	11,57

(*) Referenční hladina intenzity genové exprese pro posouzení zvýšeného kardiovaskulárního rizika

5 Porovnáním hladin genové exprese ve skupinách AIMD6 a AIM bylo nalezeno celkem 10 genů, z nichž u 3 byly hladiny genové exprese zvýšeny a u 7 sníženy. Tři z těchto 10 genů lze charakterizovat jako molekuly s enzymatickou aktivitou – CLYBL (citrátová lyáza Beta-like), FLT3 (FMS-příbuzná tyrosinová kináza 3), která může mít vliv na růst hematopoetických kmenových a progenitorových buněk, HSD17B8 (hydroxysteroidová 17-beta dehydrogenáza 8). Na myším modelu byl demonstrován regulační vliv HSD17B8 na koncentrace biologicky aktivních estrogenů a androgenů. Další 3 geny byly zařazeny do kategorie molekul receptorové povahy. Jedná se o struktury RefSeq-ID M97723.1 (popis viz kontrast AIM vs Kontroly), ADORA3 (popis viz kontrast AIMD6 vs Kontroly), RefSeq-ID BC070337.1, popisovaný jako T-buněčný receptor, alfa lokus. Zbývající 4 geny můžeme charakterizovat jako geny kódující některé regulační proteiny – ERLIN1 (popis viz kontrast AIMD6 vs Kontroly), TCEA3 (transkripční elongační faktor A (SII) 3). Jedná se o faktor účastnící se transkripce a bývá popisován jako důležitý protein pro vazbu s RNA polymerázou II, dále AXIN2 (AXIN Inhibitor 2), hrající důležitou roli při stabilizaci beta-kateninu. Z dostupných pramenů je v leukocytech modelového organismu AXIS2 inhibitor obtížně detekovatelný RefSeq-IS CR596519.1, mRNA struktura o délce 1284 bp a lokalizovaná na dlouhých ramencích chromosomu 7.

Výsledky bootstrap studie pro ověření prediktivních vlastností vybraných genových sekvencí

25 Prediktivní vlastnosti transkriptů byly z hlediska nezávislých výběrů posuzovány pomocí bootstrap studie zaměřené na hodnocení senzitivity (SE) a specificity (SP) klasifikace na základě PAM modelu. Bootstrap studie zahrnovala analýzu 1000 náhodných výběrů pořízených s opakováním z odpovídajících populací o též rozsahu. Výsledky studie jsou uvedeny v Tabulce 7.

30 Tabulka 7: Výsledky bootstrap studie na posouzení senzitivity a specificity PAM klasifikačního testu v nezávislých výběrech.

Kontrast	Výsledky PAM klasifikace (počet transkriptů použitých pro klasifikaci)
AIMD6 vs AIM	SE = 0,89, SP = 0,95 (11 transkriptů)

35 Uvedená množina genů se vyznačuje vysokou senzitivitou i specificitou klasifikačního testu na základě PAM modelu.

P A T E N T O V É N Á R O K Y

1. Způsob identifikace osob se zvýšeným genetickým rizikem úmrtí v důsledku kardiovaskulárních komplikací do 6 měsíců od okamžiku výskytu akutního infarktu myokardu, **v y z n a č e - n ý t í m**, že se v biologickém vzorku odebraném z těla pacienta, do 24 hodin od výskytu akutního infarktu myokardu, stanoví intenzita exprese sady genů a genetických lokusů.

Název / Lokus genu	SEQ ID No.	Referenční hodnota intenzity exprese (nízké riziko) stanovená na celogenomovém / oligonukleotidovém čipu	Min. odchylka od ref. hodnoty exprese, značící zvýšené riziko
ADORA3	1	6,30	+1
(M97723)	2	7,26	-1
ERLIN1	3	6,81	+1
TCEA3	5	7,08	-1
(BC070337)	6	10,87	-1
CLYBL	4	6,55	-1
HSD17B8	7	7,31	-1
FLT3	8	5,99	+1
AXIN2	9	7,15	-1
(CR596519)	10	11,57	-1

a jejich logaritmovaná hodnota při základu 2 se srovná s referenční hodnotou intenzity exprese, přičemž odchylka od referenční hodnoty rovná alespoň minimální odchylce u všech genů a genetických lokusů dané sady značí zvýšené riziko.

10

2. Způsob podle nároku 1, **v y z n a č e n ý t í m**, že biologickým vzorkem odebraným z těla pacienta jsou buňky periferní krve.

15

3. Oligonukleotidový čip pro identifikaci osob se zvýšeným genetickým rizikem úmrtí v důsledku kardiovaskulárních komplikací do 6 měsíců od okamžiku výskytu akutního infarktu myokardu, **v y z n a č e n ý t í m**, že obsahuje právě sondy hybridizující s DNA či RNA sady genů či genetických lokusů:

Název / Lokus genu	SEQ ID No.
ADORA3	1
(M97723)	2
ERLIN1	3
CLYBL	4
TCEA3	5
(BC070337)	6
CLYBL	4
HSD17B8	7
FLT3	8
AXIN2	9
(CR596519)	10

14 stránek sekvencí

+

3 výkresy

20

sequence listing divisional 2. ST25
SEQUENCE LISTING

<110> Ustav informatiky AV CR, v.v.i., Centrum biomedicinske informatiky

<120> Způsob identifikace osob se zvýšeným genetickým rizikem úmrtí po infarktu myokardu

<130> P2

<160> 10

<170> PatentIn version 3.3

<210> 1

<211> 2161

<212> DNA

<213> Homo sapiens

<400> 1

atctttgctg caaaggctgg gtatcggtcg tgctcagcaa agcgtcaact cgtgcaga	aa 60
cttagcagga atagttctgg ctaagggttag gaggctgcca ccaaagtctc tttttgttc	120
ctctgcttct cccgttgcc tccttatcat gagatttt tgctaagctg gcagaaagat	180
tgcatagtca gtgcttccag ctctgctccc acctgatcct gcactgtcct ctggccctg	240
aatgaatgaa ctctgataacc caatcttgc tcgagccctc tctatgccac tcatggctcc	300
tcttctgctc tttccatctt tttgctgaga gttctgagct ctgtacttcc tcttggccca	360
tctcacttcc taaaaacaccc ctgaagaggg ttgcttatct tgcataact caaaaagcca	420
aaaagctgca ggcagaggcg ttgaggacat ctgtttgggg aactaagagc agcagcactt	480
tcagattcag tccatataga gctgtcctac agcattctgg aaacttgagg atgtcggtg	540
cataaaagggg ctggaagtga cccacctgtg atgagccctt tctaaggaga agggtttcca	600
agagatcacc ccaccagaaa agggtaggaa tgagcaagtt gggaaattttt gactgtcact	660
gcacatggac ctctggaaag acgtctggcg agagcttagc ccactggccc tacagacgga	720
tcttgctggc tcacctgtcc ctgtggaggt tcccctggga aggcaagatg cccaaacaaca	780
gcactgctct gtcattggcc aatgttacct acatcaccat gaaaattttt attggactct	840
gccccatagt gggcaacgtg ctggtcattct gcgtggtaa gctgaacccc agcctgcaga	900
ccaccacctt ctatttcatt gtcattcttag ccctggctga cattgctgtt ggggtgctgg	960
tcatgcctt ggccattgtt gtcagcctgg gcatcacaat ccacttctac agctgccttt	1020
ttatgacttg cctactgtt atctttaccc acgcctccat catgtccttg ctggccatcg	1080
ctgtggaccg atacttgcgg gtcaagctta ccgtcagatt cagaattcct gggctccctg	1140
ggtgcattct atcattccag ttgaaagttt gcttccttcc agtcatgtgg ctcttcattc	1200
tactctccctt ggctctcatt tcagatgcca tggcatgga tgaaaaggtc aagagaagct	1260
tttgtgctgga cacggcttct gccatctgca actacaatgc ccactacaag aatcacccca	1320
aatactggtg ccgaggctat ttccgtgact actgcaacat catgccttc tcccctaaca	1380
gcaccaatca tgtggccctg agggacacag ggaaccagct cattgtcact atgtcctgcc	1440

sequence listing divisional 2-ST25

tgaccaaaga ggacacgggc tggtaactggt gtggcatcca gcgggacttt gccaggatg	1500
acatggattt tacagagctg attgttaactg acgacaaagg aaccctggcc aatgactttt	1560
ggtctggaa agacctatca ggcaacaaaa ccagaagctg caaggctccc aaagtgtcc	1620
gcaaggctga ccgctccagg acgtccattc tcattcatttgcatactgate acgggtttgg	1680
gaatcatctc tgtaatcaatcatttgacca aaaggaggag aagtcaaagg aatagaaggg	1740
taggcaacac tttgaagccc ttctcgctgt tcctgactcc aaaggaaatg gctcctactg	1800
aacagatgtg actgaagatt ttttaattt agttcataaaa gtgatgctac aacagaataa	1860
tcaccatgac aactggccca cacccagag actgattctg atctccagg aattctgaag	1920
gaccctctat ctttgacaac aatcatttgc agccaggttag caacggcggt agtcagagga	1980
gctatgatag accacaccca agcaaggctg ccctcaaata acatctcaag atcttagttc	2040
ttatgcattc catcagttag aagtgaagaa gaggtggaga atctggattt gggaccagga	2100
aatcaacttgt atttttgttag ccaataaaatt cctagccagt gttgaatgaa aaaaaaaaaa	2160
a	2161

<210> 2
<211> 485
<212> DNA
<213> Homo sapiens

<400> 2	
gaaggaaaga tgaacttgag tttcaattct tagtgccttt tctcagggga gaggccatca	60
cttgaagatg ctgagtcttc tgctccttct cctggacta ggctctgtgt tcagtgtgt	120
catctctcaa aagccaagca gggatatctg tcaacgtgga acctccctga cgatccagtg	180
tcaagtcgt agccaagtc acatgtgtt ctggtaccgt cagcaacctg gacagagcct	240
gacactgtac gcaactgcaa atcagggctc tgaggccaca tatgagagtg gatttgcatt	300
tgacaagttt cccatcagcc gccccaaacct aacattctca actctgactg tgagcaacat	360
gagccctgaa gacagcagca tatatctctg cagcgttgaa gatagggaca gagtctacaa	420
tgagcagttc ttccggccag ggacacggct caccgtgcta gaggacctga aaaacgtttt	480
ccccac	485

<210> 3
<211> 3450
<212> DNA
<213> Homo sapiens

<400> 3	
gatgcgtcac tgatcggtga ggcgcggccg aggggtcggtc ttccctcgcg agcctgcggc	60
tgggcttctt ctcagttgt gccttccacc cgggagcgac ctttgggaga gggagtttca	120
ggaagctcac cgagcagggg cggccactg gcctccgggg gcggaggagt tggcaaggggg	180
tcagcgggtc cagccagaag ggaagaatga ggggacaggg gtactggact ccccggtca	240
gcctgcgaga gagcgcacaa tttccggagg gagaggtag aaactggagg ggggtggacct	300

sequence listing divisional 2.5T25

gtcactcacg ggactgaggg tcctttctc ccgctccag gaggaacgag aatgaatatg	360
actcaagccc gggttctggt ggctgcagtg gtggggttgg tggctgtcct gctctacgcc	420
tccatccaca agattgagga gggccatctg gctgttact acaggggagg agcttacta	480
actagccccca gtggaccagg ctatcatatc atgttcctt tcattactac gttcagatct	540
gtgcagacaa cactacaaac tgatgaagtt aaaaatgtgc cttgtgaaac aagtggtggg	600
gtcatgatct atattgaccg aatagaagtg gttaatatgt tggctccta tgcagtgttt	660
gatatcgta ggaactatac tgcagattat gacaagacct taatctcaa taaaatccac	720
catgagctga accagttctg cagtgcac acacttcagg aagtttacat tgaattgttt	780
gatcaaatac atgaaaacct gaagcaagct ctgcagaaag acttaaacct catggccca	840
ggtctcacta tacaggctgt gcgtgttaca aaaccaaaa tcccagaagc cataagaaga	900
aatttttagt taatggaggc tgagaagaca aaactccta tagctgcaca gaaacaaaag	960
gttgtggaaa aagaagctga gacagagagg aaaaaggcag ttatagaagc agagaagatt	1020
gcacaagtgg caaaaattcg gttcagcag aaagtatgg aaaaagaaac tgaaaagcgc	1080
atttctgaaa tcgaagatgc tgcattcctg gcccggaga aagcgaaagc agatgctgaa	1140
tattatgctg cacacaaata tgccacctca aacaagcaca agttgacccc ggaatatctg	1200
gagctcaaaa agtaccaggc cattgcttct aacagtaaga tctatgggg cagcaacatc	1260
cctaacatgt tcgtggactc ctcatgtgct ttgaaatatt cagatattag gactggaaga	1320
gaaagctcac tcccctctaa ggaggctctt gaaccctctg gagagaacgt catccaaac	1380
aaagagagca caggttgatg caagaggtgg aatgttctc catatcaaga tgtggccaa	1440
ggggtaagt gggacaatc attatacggc ctcttcagat ttacagagaa cttacacttc	1500
atctgttcca cctctcctgc gatagtccctg ggtgcctcac tgattggagg atagagccag	1560
ctgtctgaca cacaatggc ctttcagcc acagtcttat caagtatcct atatgtattc	1620
ctttctaaac tgctactcat gaatggggaa agtctgatgc taagatactg cctgcactgg	1680
aatgttaaac actaaatata taacaagctg tgtttccata agctgagatc tggtaataa	1740
tgtttacatt cgccccccgg gggaaatgtat gctcagccac cattcaagag atgactgaga	1800
aggagatgg aagttcaaga agactgattt cacctggac ccaggccctt tctttggat	1860
ccagtcacg cttcatcca tgtgattaag atccaggccg ctgaagttcc ccagggaaatg	1920
atcttccact tgagcaacct ttacttgat acgatttgc ctttctgtt ttcctgcagt	1980
caggggtggc gcctgcaggg acctgagctt tgctacccaa ccagattcct catagagatt	2040
cctaattcact agtttcttgc attcataaaac tcagagatac agagggcttg gtttgaagtt	2100
gggggtgagat gaaacctttg ctctgagcca aagctctgg gcctgcatt ccctgcatttgc	2160
gggttgcgtac tgtcagcatc actgcccgcag gccatgcttg actaaggtaa ctggtttttag	2220
ccacagccac ctccttgcata gttacccatc agctctggcc aagagtggga cagggtttttta	2280
accacaaata ggagcagcat gcaattccta gtgacttgct gcacagtatt gtatcataat	2340

sequence listing divisional 2.5T25

tacaggaagt	ttttatTTT	aaaactggat	ctggggTata	ttcatttgcc	ccatcacCTC	2400
tgtctaaagg	cccaagtCCT	agggCTGCCA	tggTCacaAG	cacACTGATG	CTCCCTTAAGA	2460
ttgttatCT	ggagcccaca	tagtGTggAA	caaaaAGTCA	cctAGAAAGC	atCCTTGGTC	2520
atcattgtCT	cTTCCCACC	TggcccAGAG	atgCTTAAAT	ccaAGTTGTT	TCTCCAGCTG	2580
tcacCCCCCC	caggAGATCA	ggATTCCACT	gACGTCCtgg	gcAGCCAGTG	aATTAAATT	2640
tccatgagAA	acaACAGAGT	taACCTGTgg	cattAGGAGA	cCTACTTCAT	gtggACCCTT	2700
ttttCCCTTC	agTTTAACtt	ttCTGGAGCA	gtgtGCTGCG	tagTTGggCC	tgAGTTTGTG	2760
cagCTTGTtA	agACAACtCT	tgtGTACGCT	atgttGAAGC	tcaACAAAAA	agtCATGGGA	2820
ccACTTCTAG	aaATCTTCA	gCTGTCAGGC	ctgtCAGTCT	catGACAGTT	tgtTGGTTGT	2880
gccAAACACT	ttATTTGGGA	aAGGAAAGCC	cAGATTGAA	tgggtCTTTC	ccCTGGGcCT	2940
tATCCTATAG	aggCATTtGt	aatATGGAGA	aaATAATTtT	tcATTTTGC	tcATTTAATT	3000
ctataAAATTc	tCTTTATAAA	tgaATTTGT	gttCTTtagT	tCTCCTTAA	agaACTTTG	3060
aATTATAAAA	atAAAATCTT	tacCTGTcGA	attgttGCTG	cAGATGATTG	ttgtGGAAAA	3120
tCTGGATCAT	tgACCTCTGT	gtttCATTc	ctAGAGATGT	tttATAGTTA	catGAGCAA	3180
agCTGTTGCC	ccAAAGTgAT	ggCCCTGGAG	gcGGGGCTGA	ggaACAGGGA	aatGCCGCTG	3240
tgaAGTCTTA	aAGCACTCT	gttAAACTC	ccATGTGTGA	ggAGTGTGCC	tCCCTGTGCC	3300
ctCTCAGCTC	tgAGGCTGGC	cgtCTTcGG	ggtGTTcTT	ttGGCAAATA	tACACTGTAA	3360
tCTTGAgtCT	aaATTTATAT	gttGAAATGC	tacCTTTTT	aaaATAAGAA	actAAATAAA	3420
attATTTAC	tATCAGTgAA	aaaaAA				3450

<210> 4
<211> 5779
<212> DNA
<213> Homo sapiens

<400> 4	aggcaaAGGG	cggggcgCgc	gcgtcggAA	gatggcgcta	cgtctgCTGc	ggagggcggc	60
	gCGCGGAGCT	gcggcggcgg	cgctgCTGAG	gctgAAAGCg	tctctAGCAG	ctgatATCCC	120
	cAGACTTgGA	tatAGTTcCT	catCCCATCA	caAGTACATC	ccccggAGGG	cAGTGTtTA	180
	tgtacCTGGA	aatGATGAAA	agAAAATAAA	gaAGATTCCA	tCCCTGAATG	tagATTGTGc	240
	agtGCTCGAC	tgtGAGGATG	gagtggCTGc	aaACAAAAAG	aatGAAGCTC	gactGAGAAT	300
	tgtAAAAACT	cttGAAGACA	ttGAATCTGG	ccCTACTgAA	aaATGTGTGA	gagtCAACTC	360
	agTTTCCAGT	ggtCTGGCGG	aAGAAGACCT	agAGACCTT	ttGCAATCCC	gggtCCTTCC	420
	ttCCAGCCTG	atGCTACCAA	aggtGGAAAG	tcCTGAAGAA	atCCAGTGGT	ttGcAGACAA	480
	atTTTCAATTc	cactAAAG	gccggAAACT	tGAACAACCA	atGAATTAA	tCCCTTTGT	540
	ggAAACtGCA	atGGGTTGc	tCAATTtAA	ggcAGTGTGT	gaAGAAACCC	tGAAGGTCGG	600
	gcCTCAAGTA	ggtCTCTTC	tagATGCAgT	cgTTTTGGA	ggAGAAGACT	ttcGAGCCAG	660
	catAGGTGCA	acaAGTAGTA	aAGAAACCCt	ggatATTCTC	tacGCCCGGC	aaaAGATTGT	720

sequence listing divisional 2.5T25

tgtcatagcg aaagccttg gtctccaagc catagatctg gtgtacattt gtttcgaga	780
tggagctggg ctgcttagac agtcacgaga aggagccgcc atgggcttca ctggtaagca	840
ggtgattcac cctaaccaaa ttgccgttgt ccaggagcag ttttctcctt cccctgaaaa	900
aattaagtgg gctgaagaac tgattgctgc cttaaagaa catcaacaat taggaaaggg	960
ggccttact ttccaaggga gtatgatcga catgccatta ctgaaggcagg cccagaacac	1020
tgttacgctt gccacccca tcaaggaaaa atgatctgtt aaatgaagct gtcatcaggc	1080
taaagggtat tgaagctgca gagggatcaa cttgtcttg ccagaggacy ccaatgaagt	1140
ttgaaacacc aacaatcaga gatttgttt ctgttccca ttaaatcatg agctttgtg	1200
ccgagactct ggacgactgt tccttaagaa attaacagaa tggaaagttt taaactctac	1260
accaacccctt tcatgaccta cacagcagca acgctgctac tcttagacaa acaccgcggg	1320
gaaggctgtt ctgtttatTTT aaatttgtaa atagaaaaca gttgtttttt actttcattt	1380
ttcacccctt cctacgccc tttggattat ttcctctgcg gcccctagca tgagccccaa	1440
ccaggcctcc cctttcccc acctctctca attccacag gaagcccggag aggtgaggag	1500
ctgaggttag acaccaggag aggcaccatc acacaaaagc gcggccgcag agtcccaccg	1560
ccaccaggcg acccccaccc agagagggac agacatgcgg ggagccagca ccgggcaaga	1620
tggctctggg gatcctcatt ctgtgaagac accaactcat ttctcaaaca caggatccag	1680
gagacagata gtcctaaat ggagatggca catgctccgt ggggtccctc atagaggagt	1740
gcacccctcc acactggcca cgctggctg cccagagcg gccagaaagg aaggtggag	1800
ctagccccat cctcactcag aggccggaag gaggaagatg gcatctcgcc aacttcagag	1860
ccgaatggcc tctagccaca ctgcttccag accccagacg gggcagcagc agcagttccc	1920
agaggagcac ccattgtgc agctaggacc caccaaggat gggactcctg gagtcaggtg	1980
cacaccaggt aacccaggac cacgctgtgc acccccagtc tgccctctg ctcagaacac	2040
agagggatgg gaggatggct tggcagtggg aaggcaaaag aaggcctctc tcactctgcc	2100
cctgccatac gcacccgctg aggggttag aagcagtggaa ggcagagctg gcccctaagca	2160
aaagaagaaa ataaacctca cttgtccctt cctatggca gcccctcaccc caatctaact	2220
aaccttccca tcctccagcc taatccaaag aagcccttgg cttgagggga tgaagggtt	2280
gcgttctagt ctccacccca gccccacagg cagccagcca gccagccca cacagagggg	2340
cctcctcaag gcctcactgg gagcctcctg tccccagcca aggagcccta cagacttggg	2400
gaaaagcagg cccctccgca aggccccctgg gtggtgcggaa ggccggaccg gctaggcctc	2460
ccgctyctgg ccactcccag gccacgggtt cctaggtccc aaccacattt gactgctcgc	2520
cacgcccactg ccctcatccc aaactgcttt gttcaaaca aaccaccttgg tttcagtctc	2580
cccaaatgtc cagttcatta tcttcctcat aaccatggt ccctattagg gtaggatcat	2640
gagactaaga cctatgagag ccacaaatct ggaccaaagt cccatccctt gaacagagac	2700
ccaaacgacg agggtcccag aagagagttc agtcctgatc agaaacccat ggtgccttag	2760

sequence listing divisional 2,ST25

tcccttgaaga acaaaaactct aggaagaaga tgctggaagg caaagggtat tccccctttt	2820
tccccaccccg cgtctctgtg gtgccatggg tgggcccagg taccctggga aaggtggag	2880
agcagtcaag ggtgggtgtg tgatctccac tgggctcact gggcacccccc gacacgggga	2940
agttagagct gcccactcc tgagccaggc gtgggtgaca ggaagaggac cttcagacta	3000
atctgattca ttagaaacca tacctgtttt tggttgtgt agctcatcac aagccgctta	3060
gccatatcac cccccgttatt aattcttggg gtctaaatta tggtaaacac tattaaaaca	3120
ttatcagaac taatgagaaa caattactta gaaaatgagc cggacaaga ctgagttggg	3180
aacatcagtgtgatcactg tagatttagtt taataaatca tcaggtgcaa ggcaagactg	3240
actgtatgtatgaaagccc cgtcacggga aaatgaaatt gagatttttt ttttttgcatt	3300
aattttttca ttaatctcaa taggaccgtgtt gttttttttt cccctaatac	3360
cttgccctgag gcggggggggg ggggggggtgc ccaataatgt cttcattgtt ttactgaggt	3420
cttaatgaca atctgtgaca acctcattttt aatgtataga ggatttatatc aatacagtca	3480
tgttttatttggaaatggtaaa gggaaactcca gtcagagtca ggcagtgtct gtgagcacaa	3540
gttaggaagt ttctcgcat ccggagcgt tccctgtctga tgtcccaatgtt ttacttcctcc	3600
cggcccccctt cccctccctt cctccaggaa cggctggaa aacagtccctg cgggatgaag	3660
acttcaccgc ctccgattttaatttggaaatggtaaa gttttttttttaacttccttc cgtggcatat ttcgctggc	3720
agatagaaca aaccatgtcg tttcccccgt tctctaaaat agacatatta ttatcattca	3780
cacttttgcaccccggtcggtt ttgcggagtt tcggaaact gacttttttc attggggaca	3840
ttgttaattttt ctgtatgtgc cacgaggaga aaaaaaaatac gggtttggttt taattggaaag	3900
gaccttccgc ttttatgatt tcggtttacc ttggaaaact gaatttctgt tggtttttttt	3960
ctttccctta gtactagaaa agcaatgaat taattgcaca aaacagggttc tgagacggcc	4020
cgcaggcccc gagctcgtgg acgcggccga gggtcgggtg tgaccgcgg agccgctgcc	4080
aggcttccca gctcgttttc gcggggaggc gggaggcagg accagacccc agcatttcag	4140
cgtgaaagtc ttgccttttcc tttcccgct gtctttcccg cggcggagc ggcgtacctg	4200
agcgcggtcc ccacggagga tcagtactt tcccaagaccc cgcggcgag cccgcgttt	4260
ggaccggca gctctgcgcg ggctggttt ggaggggggtg gtgttcgtttt gtttaatttc	4320
cagttttat ttggcagcat atgccttcc gagtcagtaa gaattgcccga cgacgtaaag	4380
agcgacttgc aggaaggggc cgaagccgtc gttagccccc gggccggccgc ggccactcga	4440
accccgtttc cgccaagcgc gctgcacactt gcggggcgag ttctttttgt tttggccaaaa	4500
tcattttgggg acttctttgt cattcatgcc ctccctttta aatgattttt atttttttcc	4560
actgttaagtgc accggctggg tttgactttt gcttcttccg acggaaaggc accgcgagcc	4620
gggggtggcg gccccgggg caggaggagc gcggggtaca cgcgggtggcc gcagacggcc	4680
agccctgcgg agccccgagg cctcgtcgcc cgcggcccccgtt gtcgcgcgg agccggggcc	4740
gaggccgggc caggaggagt gtggcggccc aggaggcctg gactgtggc cctgctcgcc	4800

sequence listing divisional 2-ST25

cgcggccgc gggccgccc gagccccgcgc gcctgtcgcg cagccggct gtaatggtgg	4860
cagatcaaag gcggccccgt gtccccgcgg agcccgaaac aatcccgccc ctttgtgcgc	4920
tgttgcttagg agcccgagaa actaagagaa agtgtcagga gcatgttaat cagactcggt	4980
acactgtAAC aataacgtct ctctcgggtc tcccaggccc cagtaccccc ggcgcaccctg	5040
cgcgcaggcc ggacacctgc gcagggccct tgcgcccgc ctggggtccc gccggccctg	5100
gggtccctgc agccccgaat ccgcacccga gccacgcgga acgactagcc ccgagggggcc	5160
ccgcagggtc ccgggtgcagc tccctggtcg tggtctcctt gaccgaagcc ccggccctcac	5220
accgcctggc cgcgagcccc agggacgcag ggacgatccc ggtccctgc ttttcagtcc	5280
tccagtcgaa tcgcccactt tggtaatca cagtattcga atcaagagga aatgaacat	5340
tccctttatg gtagctttt ggttatgagt ttggcaaaa ctgttaaatc aactttgccg	5400
atttcccttg ggaatccctg gaggccactc taagtggtaa tcccaagtt aagaaggaaa	5460
tggggaaatt ttgctgagag taaagatgtc gccgaacttt ttgaaggat ttgcttcatt	5520
cattcattta gtcattcaac agacacctgt tgaacccgac tgggtgccag agggggccagt	5580
cacaggactt attccagatg aactttctt ttgaaattag aatgccttg tggaaaggccaa	5640
aggaggagca gaggcctaaa ataatgtcaa gtgtcaaagc aaaaagaagt gccattggct	5700
actacagtgt gtgatgataa caagagaggt gcgaatttagg aattaaaaaac gtttgaaaaaa	5760
ctacaggcca aaaaaaaaaaa	5779

<210> 5
<211> 1586
<212> DNA
<213> *Homo sapiens*

<400> 5
cgccccggcc gggcgtgtgt gtcgtgtgtg tttggggccc gcgcggggttgcgcgcctcc 60
gccttcgcgc ctccctgcccc cgaggcccta ctgctgcccc tgtgcccctc gccccggccgg 120
gcgtcgcggg ccaacatggg ccaggaagag gagctgctga ggatcgccaa aaagctggag 180
aaagatggtgg ccaggaagaa cacggaaggg gccctggacc ttctgaagaa gctgcacagc 240
tgccagatgt ccatccagct actacagaca accaggattt gagttgtgt taatggggtc 300
cgcaagact gctcagacaa ggaggtggtg tccttggcca aagtccttat caaaaactgg 360
aagcggctgc tagactcccc tggaccccca aaaggagaaa aaggagagga aagagaaaag 420
gcaaagaaga aggaaaaagg gcttgagtgt tcagactggc agccagaagc aggcctttct 480
ccaccaagga aaaaacgaga agacccaaa accaggagag actctgtggc ctccaaagtct 540
tctgcctcct cctctccaaa aagaccatcg gtggaaagat caaacagcag caaatcaaaa 600
gcggagagcc ccaaaacacc tagcagcccc ttgaccccca cgttgcctc ttccatgtgt 660
ctcctggccc cctgctatct cacagggac tctgtccggg acaagtgtgt ggagatgctg 720
tcaagcaaccc tgaaggccgaa cgttgttac aqgqactatq qaqtcactq tqacaaqatq 780

sequence listing divisional 2.5T25

gcatcagaaa tcgaagatca tatctaccaa gagctcaaga gcacggacat gaagtaccgg	840
aaccgcgtgc gcagccgcat aagcaacctc aaggacccc ggaaccccgg cctgcggcg	900
aacgtgctca gtggggccat ctccgcaggg cttatagcca agatgacggc agagggaaatg	960
gccagtgtatg aactgaggg a gttgaggaat gccatgaccc aggaggccat ccgtgagcac	1020
cagatggcca agactggcg caccaccact gacctcttcc agtgcagcaa atgcaagaag	1080
aagaactgca cctataacca ggtgcagaca cgca gtcgtatg atgagccat gactaccc	1140
gtcttatgca atgaatgtgg caatcgctgg a a gttctgtatg gatggaacag ccagccatga	1200
acaagggtgag gaagaagaaa gaggaagcgc tgaattatct gaaactggaga agcaataaaa	1260
attaaagtga aggaaaatac tgaactctgt ctgagtg gta tggtatgatg tagaggaaga	1320
attctcttgc aaattaataa tcggtcatta gaaacaattt gttatgggg gagcctaattt	1380
ggagaatgat gctgagaatt tgtattgtatg aacctctttt agaaactgca gagggctgg	1440
cacggtggtt tatggctgta atctgcaaac tctggagggc tgaggtggga gaatcgctt	1500
accccagaag tt tgagtc a gccaggca cacagcaaga ccccatctct ataaaaagaa	1560
aaaataaaaga aactgcagcg ccttag	1586

<210> 6

<211> 1464

<212> DNA

<213> Homo sapiens

<400> 6

agatcagaag aggaggcttc tcaccctgca gcagggacct gtgagcatgg catgccctgg	60
cttcctgtgg gcacttgtga tctccacctg tcttgaattt agcatggctc agacagtcac	120
tca gtc tcaa ccagagatgt ctgtcagga ggcagagacc gtgaccctga gctgcacata	180
tgacaccagt gagagtgatt attatttattt ctggtacaag cagccctccca gcaggcagat	240
gattctcggtt attcgccaag aagcttataa gcaacagaat gcaacagaga atcgtttctc	300
tgtgaacttc cagaaagcag ccaa atccctt cagtctcaag atctcagact cacagctgg	360
ggatgcccg atgtatttct gtgcttata g gactatctt cagggcggat ctgaaaagct	420
gg tctttgga aagggAACGA aactgacagt aaacccatat atccagaacc ctgaccctgc	480
cgtgtaccag ctgagagact ctaaatccag tgacaagtct gtctgcctat tcaccgattt	540
tgattctcaa acaaatgtgt cacaaagtaa ggattctgat gtgtatataa cagacaaaac	600
tgtgctagac atgaggtcta tggacttcaa gagcaacagt gctgtggcct ggagcaacaa	660
atctgacttt gcatgtgcaa acgccttcaa caacagcattt attccagaag acacccctt	720
ccccagccca gaaagttcct gtgatgtcaa gctggcggag aaaagctttg aaacagatac	780
gaacctaacc tttcaaaacc tgc tca gatgtatgat tgggttccga atccctccct tgaaagtggc	840
cgggttaat ctgctcatga cgctgcggct gtggccagc tgagatctgc aagattgtaa	900
gacagcctgt gctccctcgc tcctccctc gcattgcccc tcttctccct ctccaaacag	960
aggaaactct cctaccccca aggaggtaa agctgctacc acctctgtgc ccccccggca	1020

sequence listing divisional 2. ST25

atgccaccaa	ctggatccta	cccgaaattt	tgattaagat	tgctgaagag	ctgccaaca	1080
ctgctgccac	ccccctctgtt	cccttattgc	tgcttgcac	tgcctgacat	tcacggcaga	1140
ggcaaggctg	ctgcagcctc	ccctggctgt	gcacattccc	tcctgctccc	cagagactgc	1200
ctccgcccac	ccacagatga	tggatcttca	gtggggtctc	ttgggctcta	ggtcccgag	1260
aatgttgtga	ggggtttatt	tttttttaat	agtgttcata	aagaaaagaca	tagtattctt	1320
cttctcaaga	cgtgggggga	aattatctca	ttatcgaggc	cctgctatgc	tgtgtgtctg	1380
ggcgtgttgt	atgtcctgct	gccgatgcct	tcattaaaat	gatttggaaag	agcgaaaaaa	1440
aaaaaaaaaa	aaaaaaaaaa	aaaa				1464

<210> 7

<211> 989

<212> DNA

<213> Homo sapiens

<400> 7

gggattccca	cccaccaca	gcccgccatg	gcgtctcagc	tccagaaccg	actccgctcc	60
gcactggcct	tggcacagg	tgcggggagc	ggcatggcc	gagcggtcag	tgtacgcctg	120
gccggagagg	gggcaccgt	agctgcctgc	gacctggacc	gggcagcggc	acaggagacg	180
gtgcggctgc	tggcgggcc	agggagcaag	gaggggccgc	cccagggaa	ccatgctgcc	240
ttccaggctg	acgtgtctga	ggccagggcc	gccaggtgcc	tgcttgaaca	agtgcaggcc	300
tgctttctc	gcccaccatc	tgtcggtgt	tcctgtgcgg	gcatcaccca	ggatgagtt	360
ctgctgcaca	tgtctgagga	tgactggac	aaagtcatag	ctgtcaacct	caagggcacc	420
ttcctagtca	ctcaggctgc	agcacaagcc	ctgggttcca	atggttgtcg	tggttccatc	480
atcaacatca	gtagcatcgt	aggaaaggtg	gggaacgtgg	ggcagacaaa	ctatgcagca	540
tccaaggctg	gagtgattgg	gctgacccag	accgcagccc	gggagcttgg	acgacatggg	600
atccgctgta	actctgtcct	cccagggttc	attgcaacac	ccatgacaca	gaaagtgc	660
cagaaagtgg	tggacaagat	tactgaaatg	atcccgttgg	gacacttggg	ggaccctgag	720
gatgtggcag	atgtggtcgc	attcttggca	tctgaagata	gtggatacat	cacagggacc	780
tcagtggaaag	tcactggagg	tcttttcatg	taactgcctc	aaggaccctg	gactctgctc	840
accccccac	cactctgcct	ggcctcctgc	tgtatgaggac	tctaagttcc	caggatacaa	900
aagggtggc	agtgtatggt	tcaggaatgc	tgaatatggg	aagcaggggt	gcttgacc	960
ctaataaaatt	ccaaagtccct	ttccctgccc				989

<210> 8

<211> 3475

<212> DNA

<213> Homo sapiens

<400> 8

cgaggcggca	tccgagggt	gggcccggcgc	cctgggggac	cccgggctcc	ggaggccatg	60
ccggcgttgg	cgcgcgacgc	gggcaccgtg	ccgctgctcg	ttgtttttc	tgcaatgata	120

sequence listing divisional 2,ST25

tttgggacta ttacaaatca agatctgcct gtgatcaagt gtgtttaat caatcataag	180
aacaatgatt catcagtggg gaagtcatca tcatatccca tggtatcaga atccccggaa	240
gacctcggt gtgcgttgag accccagac tcagggacag tgtacgaagc tgccgctgtg	300
gaagtggatg tatctgcttc catcacactg caagtgcgg tcgatgcccc agggAACATT	360
tcctgtctct gggctttaa gcacagctcc ctgaattgcc agccacattt tgatttacaa	420
aacagaggag ttgtttccat ggtcattttg aaaatgacag aaacccaagc tggagaatac	480
ctactttta ttcagagtga agctaccaat tacacaatat tgtttacagt gagtataaga	540
aataccctgc tttacacatt aagaagacct tacttttagaa aaatggaaaa ccaggacgcc	600
ctggcttgca tatctgagag cggtccagag ccgatcgtgg aatgggtgct ttgcgattca	660
caggggaaaa gctgtaaaga agaaagtcca gctgttgttaaaaggagga aaaagtgcTT	720
catgaattat ttgggacgga cataaggtgc tgcgtccagaa atgaactggg cagggatgc	780
accaggctgt tcacaataga tctaaatcaa actcctcaga ccacattgcc acaatttattt	840
cttaaagttag gggAACCTT atggataagg tgcaaaagctg ttcatgtgaa ccatggattc	900
gggctcacct gggattttaga aaacaaagca ctcgaggagg gcaactactt tgagatgagt	960
acctattcaa caaacagaac tatgatacgg attctgtttt ctttgcattc atcagtggca	1020
agaaacgaca ccggatacta cactgttcc tcttcaaagc atcccagtca atcagctttg	1080
gttaccatcg taggaaaggg atttataat gctaccaatt caagtgaaga ttatgaaatt	1140
gaccaatatg aagagtttg ttttctgtc aggtttaaag cctacccaca aatcagatgt	1200
acgtggacct tctctcgaaa atcatttcct tgcgtccaa agggtcttga taacggatac	1260
agcatatcca agttttgcaa tcataagcac cagccaggag aatatatatt ccatgcagaa	1320
aatgatgatg cccatTTAC caaaatgttc acgctgaata taagaaggaa acctcaagtg	1380
ctcgagaag catcgcaag tcaggcgtcc ttttctcgg atggataccc attaccatct	1440
tggacctgga agaagtgttc agacaagtct cccaaactgca cagaagagat cacagaagga	1500
gtctggaata gaaaggctaa cagaaaagtg tttggacagt ggggtgtcgag cagtactcta	1560
aacatgagtg aagccataaa agggttcctg gtcaagtgcgtcataacaa ttcccttggc	1620
acatcttgcg agacgatcct ttAAACTCTC CCAGGCCCCT TCCCTTCAT CCAAGACAAAC	1680
atctcattct atgcaacaat tgggtttgt ctcctttca ttgtcgTTT aaccctgcta	1740
atttgcaca agtacaaaaa gcaallagg iaiyadagcc agtacagat ggtacaggtg	1800
accggctccct cagataatga gtacttctac gttgatttca gagaatatga atatgatctc	1860
aaatggagtttccaaagaga aaatttagag tttggaaagg tactaggatc aggtgcTTT	1920
ggaaaagtga tgaacgcaac agcttatggaa attagcaaaa caggagtctc aatccaggtt	1980
gccgtcaaaa tgctgaaaga aaaagcagac agctctgaaa gagaggcact catgtcagaa	2040
ctcaagatga tgacccagct ggaaagccac gagaatattg tgaacctgct gggggcgtgc	2100
acactgtcag gaccaatttta cttgattttt gaatactgtt gctatggta tcttctcaac	2160

sequence listing divisional 2.ST25

tatctaagaa	gtaaaagaga	aaaatttcac	aggacttgg	cagagat	ttt caaggaacac	2220	
aatttcagtt	tttacccac	tttccaatca	catccaaatt	ccagcatg	cc tggccaaga	2280	
gaagttcaga	tacaccg	ga ctcggatcaa	atctcagg	gc ttc	atggaa	2340	
tctgaagatg	aaattgaata	tgaaaaccaa	aaaaggctgg	aagaagagga	ggacttgaat	2400	
gtgcttacat	ttgaagatct	tcttgctt	gcata	ttgccaagg	aatggaaattt	2460	
ctggaattta	agtcgtgtgt	tcacagagac	ctggccgcca	ggaacgtgct	tgtcacccac	2520	
gggaaagtgg	tgaagatatg	tgactttgg	ttggctcgag	atatcatgag	tgattccaac	2580	
tatgttgtca	ggggcaatgc	ccgtctgcct	gtaaaatgg	tggccccg	aagcctgttt	2640	
gaaggcatct	acaccattaa	gagtgatg	tc tggtcatatg	gaatattact	gtggaaatc	2700	
ttctcacttg	gtgtgaatcc	ttaccctgg	attccgg	ttt atgctaactt	ctacaaactg	2760	
attcaaaatg	gatttaaaat	ggatcagcc	tttatgct	cagaagaaat	atacattata	2820	
atgcaatcct	gctgggctt	tgactcaagg	aaacggccat	ccttccctaa	tttgacttcg	2880	
tttttaggat	gtcagctgg	agatgcagaa	gaagcgatgt	atcagaatgt	ggatggccgt	2940	
gtttcggat	gtcctcacac	ctaccaaaac	aggc	gacctt	tca	3000	
gggctactct	ctccgcaggc	tcaggtcgaa	gattcg	taga	ggaacaattt	3060	
acttcatccc	tccacctatc	cctaacaggc	tgt	tagattac	caaacaaga	3120	
cactaaaaga	aaatctatta	tcaactg	ctt	caccaga	ttt ctcta	3180	
gcgttactc	ttgtttcaa	aggactttt	gtaaaatcaa	atcatcctgt	cacaaggcag	3240	
gaggagctga	taatgaactt	tattggagca	ttgatctg	ca	ccaggc	3300	
gcttgagtga	attgtgtacc	tgaagtacag	tatattctt	taaatacata	aaacaaaagc	3360	
atttgctaa	ggagaagcta	atatgat	tt	taagtctat	gtttaaaat	aatatgtaaa	3420
ttttcagct	atttagtgtat	atattttatg	ggtgg	gataa	aaatttctac	tacag	3475

<210> 9
 <211> 4241
 <212> DNA
 <213> Homo sapiens

<400> 9	actggctccg	cgagcctggc	ccgggggagt	cggctggagc	cggctgcgt	ttgataaggt	60
	cctggcaact	cagtaacagc	ccgagagccg	ggaaataaaa	ataaccctc	agagcgatgg	120
	atttcggggc	cgcccgccgg	ccgaggcgcc	cgcgaaggc	cctgctgtaa	aagagaggag	180
	gttcagatga	gccccgtcg	acttgagaga	gacagagaga	ccacgccc	tgctgagagg	240
	aactggaaga	agaaaaattc	ccagactcg	tggaaagagc	tccctcacca	tgagtgcgc	300
	tatgttggtg	acttgctcc	cgaccc	cagcagcttc	cgtgaggatg	ccccgcggcc	360
	cccagtgcca	gggagaag	gggagacccc	accgtgtcag	ccaggggtgg	gcaagggcca	420
	ggtcaccaaa	cccatgcctg	tctttccaa	caccaggcgg	aacgaagatg	ggttggggga	480

sequence listing divisional 2-ST25

gccggagggg cgggcatctc	cggatcccc tctgaccgg tggaccaagt	ccttacactc	540
cttattgggc gatcaagacg	gtgcttacct gttccgaact	ttcctggaga	600
cgtggatacc ttagacttct	ggttgcctg caatggattc	aggcagatga	660
tacaaaaact ttacgagtag	ccaaagcgat ctacaaaagg	tacattgaga	720
tgtctccaag cagctgaagc	ctgccaccaa gacctacata	agagatggca	780
gcagattgat tccatcatgt	ttgaccaggc gcagaccgag	atccagtcgg	840
aatgcctac cagatgttt	tgacttctga tatatacctc	aatatgtga	900
agaaaacaca gcttacatga	gtaatgggg actcgggagc	ctaaaggtcg	960
tctccccacc ttgaatgaag	aagaggagtg gacttgtgcc	gacttcaagt	1020
gccaaccgtg gttggcttgt	ccagcaaaac tctgagggcc	acggcgagtg	1080
ggaaaactgtt gacagtggat	acaggtcctt caagaggagc	gatcctgtta	1140
catagttct ggctatgtct	ttgcaccagc caccagcgcc	aacgacagtg	1200
tgtgcgctg acggatgatt	ccatgtccat gacggacagc	agtgttagatg	1260
ttatcgtgtg ggcagtaaga	aacagctcca gagagaaatg	catcgcagtg	1320
tggccaagtg tctctacctc	atttcccag aacccaccgc	ctgcccagg	1380
cgtggAACCC gccacctttg	cagctgagct gatctcgagg	ctggaaaagc	1440
gttggagagc cgccacagcc	tggaggagcg cctgcagcag	atccgagagg	1500
agagggctcc gagctcacac	tcaattcgcg ggagggggcg	cccacgcagc	1560
cctactgccc tccggcagct	acgaggaaga cccgcagacg	atactggacg	1620
cagggtcctc aagaccctg	gctgccagtc tccaggcgta	ggccgctata	1680
ccgctccccg gaccaccacc	accaccacca ttcgcagtagc	cactccctgc	1740
tggcaagctg cctcccgccg	ccgcctcgcc gggcgctgc	ccccctctcg	1800
ctttgtgacc aagcagacga	cgaagcatgt ccaccaccac	tacatccacc	1860
ccccaaGACC aaggaggaga	tgcaggcgga ggccacgcag	cgggtgcact	1920
tggggcagc gagtattact	gctactcgaa atgcaaaagc	cactccaagg	1980
catgcccagc gagcagtttgcgg	ccactcccgcc	ctccggaaac	2040
aggcacggag ccgggctgg	ccctgcccgc	cagggaaagga	2100
ggccctgcag cttccccggg	aggaaggaga	caggtcgacg	2160
ggagagttag	cggcagagca	gatgtctggc	2220
ccccttggag tctgcccgt	cgtctccagg	agatggatgct	2280
gggcaacagc gggcacccccc	ccatagtgcc	caaagcacaa	2340
gatgcctccc ctgacccac	ccaaacacgct	aaaaggccta	2400
agctgaggtg tcgaagcccc	ggctcagctg	gatgtgtgtg	2460
gaatcattcg gccactgttc	caacggagc	gccagtcagc	2520

sequence listing divisional 2-ST25

agaagatcac	aaagagccaa	agaaaactggc	aggtgtccac	gcgcctccagg	ccagttagtt	2580
ggttgtca	tacttttct	gtggggaaaga	aattccatac	cggaggatgc	tgaaggctca	2640
gagcttgacc	ctggggccact	ttaaagagca	gctcagcaaa	aaggaaatt	ataggtatta	2700
cttcaaaaaa	gcaagcgatg	agtttgccctg	tggagcggtg	ttttaggaga	tctgggagga	2760
tgagacggtg	ctcccgtatgt	atgaaggccg	gattctggc	aaagtggagc	ggatcgattg	2820
agccctgggg	tctggcttgc	gtgaactgtt	ggagccccaa	gctcttgtga	actgtcttgg	2880
ctgtgagcaa	ctgcgacaaa	acatttgaa	ggaaaattaa	accaatgaag	aagacaaaagt	2940
ctaaggaaga	atcgccagt	gggccttcgg	gagggcgggg	ggaggttgat	tttcatgatt	3000
catgagctgg	gtactgactg	agataagaaa	agcctgaact	atttattaaa	aacatgacca	3060
ctcttggcta	ttgaagatgc	tgcctgtatt	tgagagactg	ccatacataa	tatatgactt	3120
cctaggatc	tgaaatccat	aaactaagag	aaactgtgt	tagttaccc	gaacaggaat	3180
ccttactgat	atttatagaa	cagttgattt	ccccatccc	cagtttatgg	atatgtct	3240
ttaaacttgg	aagggggaga	caggaagttt	taattttct	gactaaactt	aggagttgag	3300
ctaggagtgc	gttcatggtt	tcttcaactaa	cagaggaatt	atgctttgca	ctacgtccct	3360
ccaagtgaag	acagactgtt	tttagacagac	tttttaaaat	ggtgccctac	cattgacaca	3420
tgcagaaatt	ggtgcgtttt	gtttttttt	ttcctatgt	gctctgtttt	gtcttaaagg	3480
tcttgagggt	tgaccatgtt	ggtcatcat	caacattttg	ggggttgtgt	tggatggat	3540
gatctgtgc	agagggagag	gcagggaaacc	ctgctccctc	gggccccagg	ttgatccctgt	3600
gactgaggct	ccccctcatg	tagcctcccc	aggcccagg	ccctgaggcc	tgctagaatc	3660
actgccgctg	tgcttcgtg	gaaatgacag	ttccttgc	ttttgttgc	tgttttgtt	3720
ttacattagt	cattggacca	cagccattca	ggaactaccc	cctgccccac	aaagaaatga	3780
acagttgtag	ggagacccag	cagcacctt	cctccacaca	ccttcatttt	gatgtcggg	3840
tttttgtt	aagttaatct	gtacattctg	tttgcattt	ttacttgtac	tatacatctg	3900
tatatagtgt	acggcaaaag	agtattaatc	cactatctct	agtgttgac	tttaaatcag	3960
tacagtacct	gtacctgcac	ggtcacccgc	tccgtgtgtc	gccctatatt	gagggtcaa	4020
gctttccctt	gtttttgaa	aggggtttat	gtataaatat	attttatgcc	tttttattac	4080
aagtcttgta	ctcaatgact	tttgtcatga	cattttgttc	tacttatact	gtaaattatg	4140
cattataaag	agttcattta	aggaaaatta	cttggtacaa	taattattgt	aattaagaga	4200
tgttagcctt	attaaaattt	tatatttttc	aaaaaaaaaa	a		4241

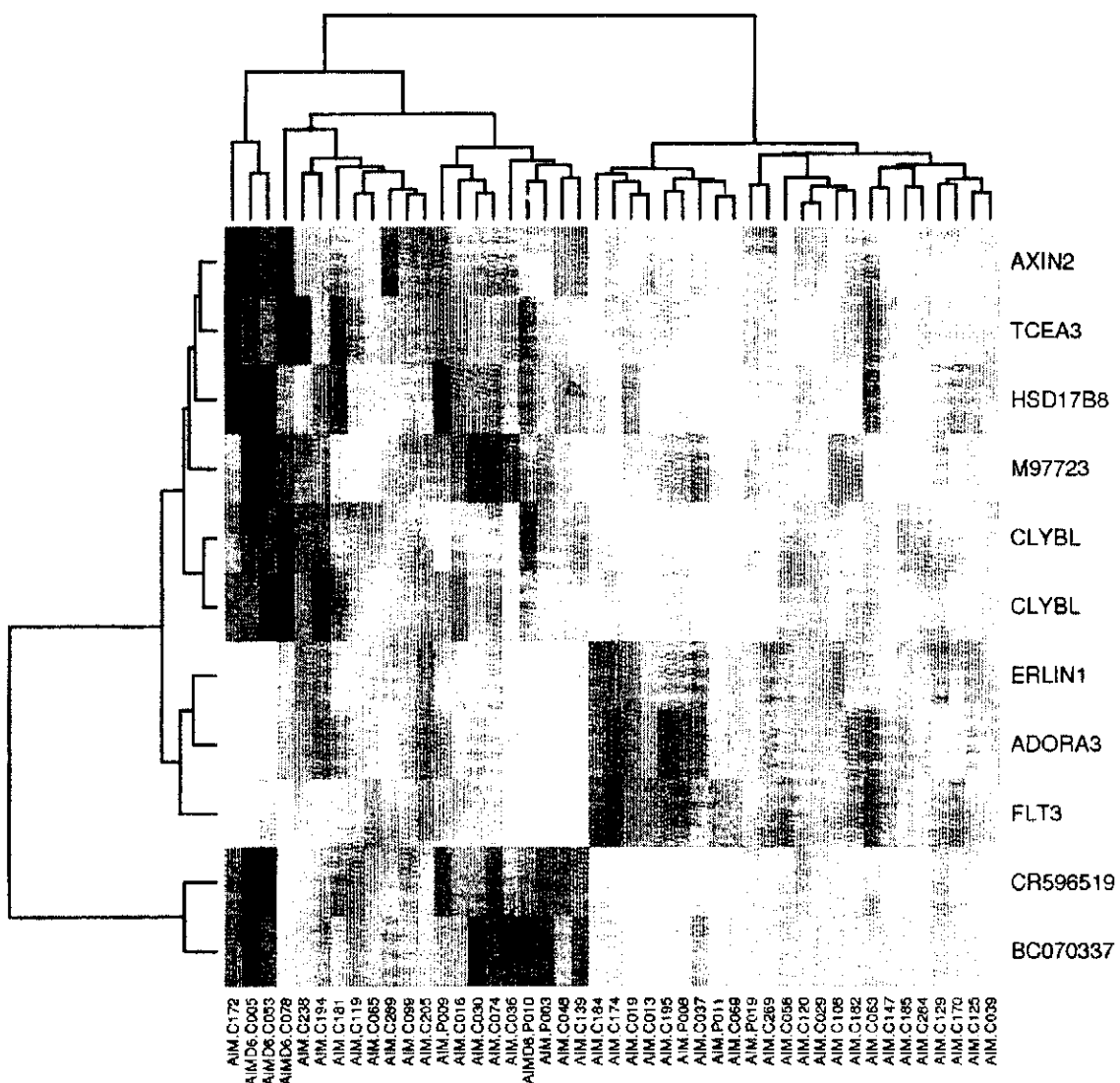
<210> 10
<211> 1284
<212> DNA
<213> Homo sapiens

<400> 10
atacgcagta ttttggccca ggcacccggc tgacagtgtc cgaggacctg aaaaacgtgt 60
tcccacccga ggtcgtgtg tttgagccat cagaagcaga gatctccac acccaaaagg 120

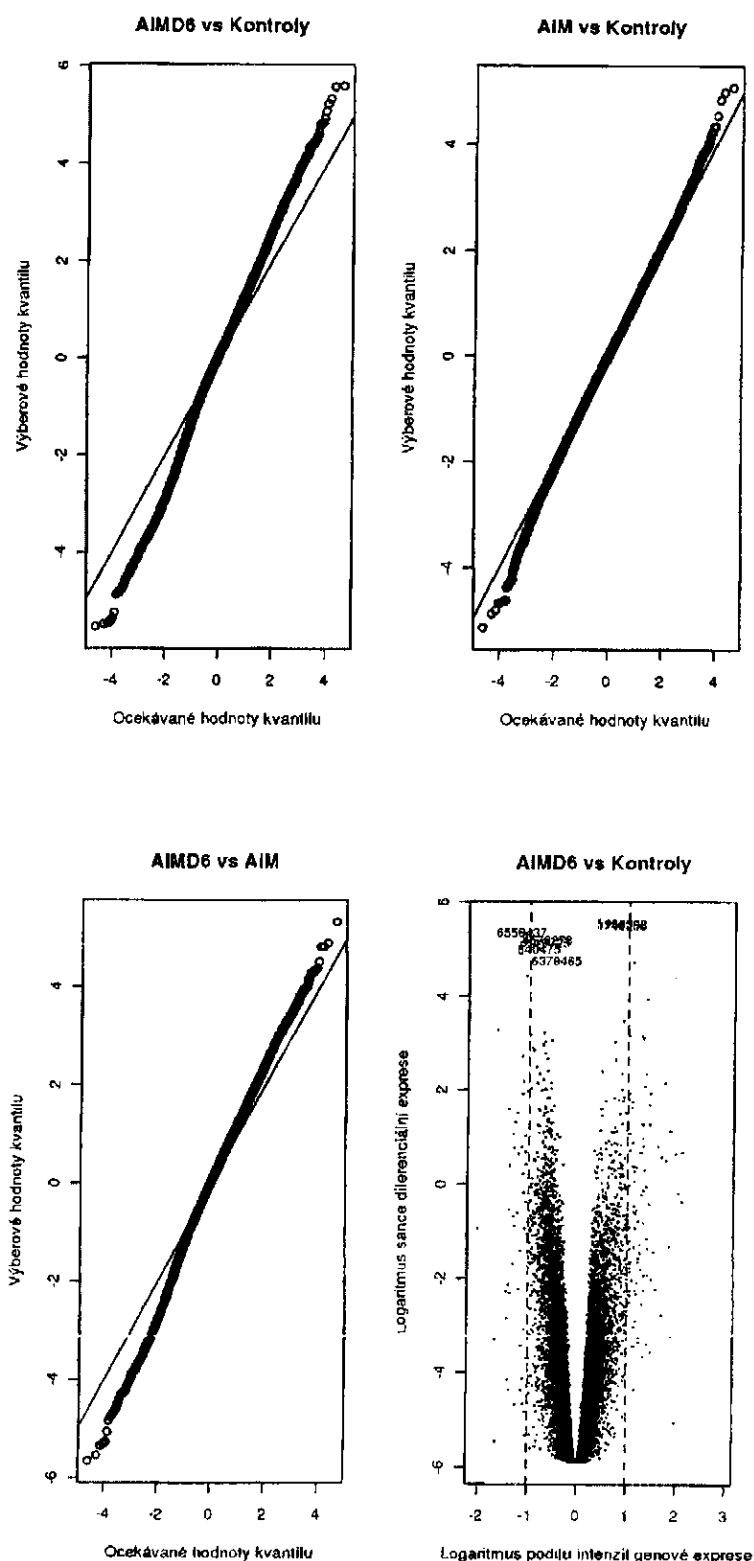
sequence listing divisional 2.5T25

ccacactggc atgcctggcc acaggcttct accccgacca cgtggagctg agctggtggg	180
tgaatggaa ggaggtgcac agtggggtca gcacagaccc gcagcccctc aaggagcagc	240
ccgcccctcaa tgactccaga tactgcctga gcagccgcct gagggtctcg gccaccttct	300
ggcagaaccc ccgcaaccac ttccgctgtc aagtccagtt ctacgggctc tcggagaatg	360
acgagtggac ccaggatagg gccaaacccg tcacccagat cgtcagcgcc gaggcctggg	420
gtagagcagg tgagtggggc ctggggagat gcctggagga gattaggtga gaccagctac	480
cagggaaaat ggaaagatcc aggtacgga caagactaga tccagaagaa agccagagtg	540
gacaagggtgg gatgatcaag gttcacaggg tcagcaaagc acggtgtgca cttccccac	600
caagaagcat agaggctgaa tggagcacct caagtcatt cttccctcag atcctgacac	660
cttagagcta agcttcaag tctccctgag gaccagccat acagtcagc atctgagtgg	720
tgtgcattccc attctttctt ggggtccctgg tttcctaaga tcatagtgac cacttcgttg	780
gcactggagc agcatgaggg agacagaacc agggctatca aaggaggctg actttgtact	840
atctgatatg catgtgtttt gtcctgtga gtctgtatg taaggctaa tgtccttaca	900
aagcagcatt ctctcatcca ttttcttcc cctgtttctt ttcagactgt ggcttcacct	960
ccgagtctta ccagcaaggg gtcctgtctg ccaccatcct ctatgagatc ttgcttaggaa	1020
aggccacctt gtatgccgtg ctggtcagtg ccctcgtgct gatggccatg gtcaagagaa	1080
aggattccag aggctagctc caaaaccatc ccaggtcatt cttcatcctc acccaggatt	1140
ctcctgtacc tgctcccaat ctgtgttccct aaaagtgatt ctcactctgc ttctcatctc	1200
ctacttacat gaatacttct ctctttttc tgtttccctg aagattgagc tcccaacccc	1260
caagtacgaa ataggctaaa ccaa	1284

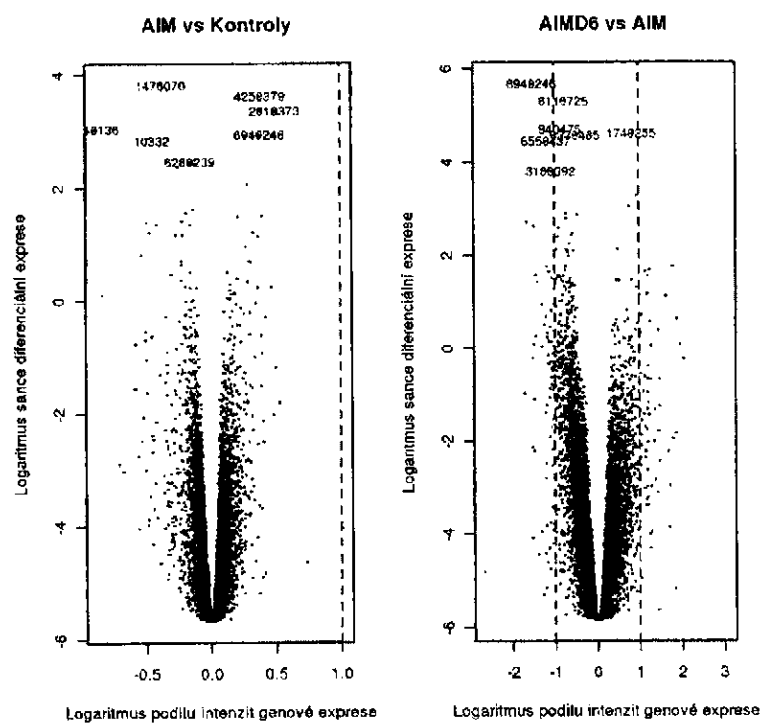
Obr. 1



Obr.2



Obr. 2 - pokračování



Konec dokumentu
